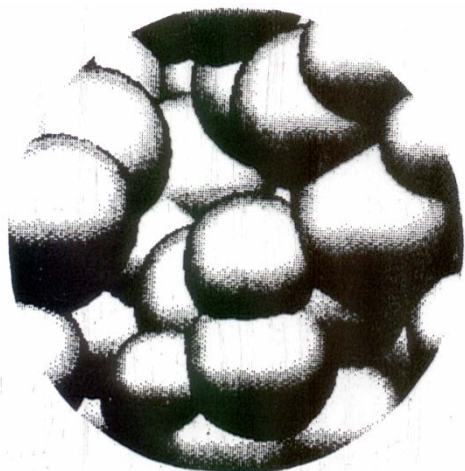


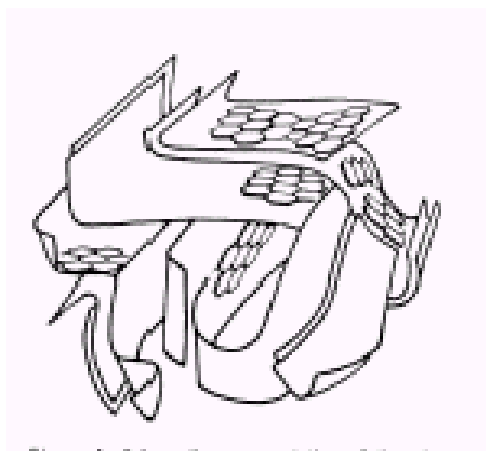
# POROZNI MATERIJALI

## Teksturalne osobine

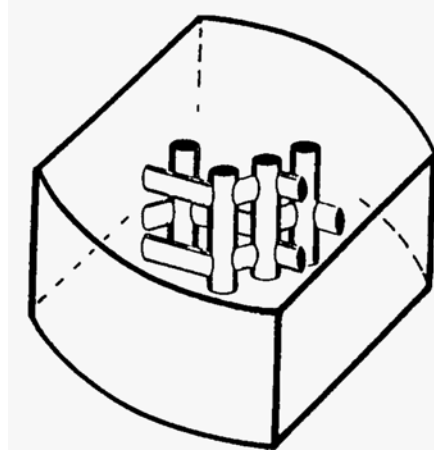
200nm



Silica



Carbon



Zeolite

## Važne osobine poroznih sistema su:

- Površina – određuje se BET-metodom
- Struktura pora
- Hemijski sastav površine

Tehnike kojima se ispituje sastav površine:

- IR i Raman
- X-ray fluorescentna (XRF)
- Difrakcija elektrona niske energije (LEED)
- X-ray fotoelektronska spektroskopija (ESCA)
- Ožeova elektronska spektroskopija (AES)

# Tekstura i morfologija poroznih sistema

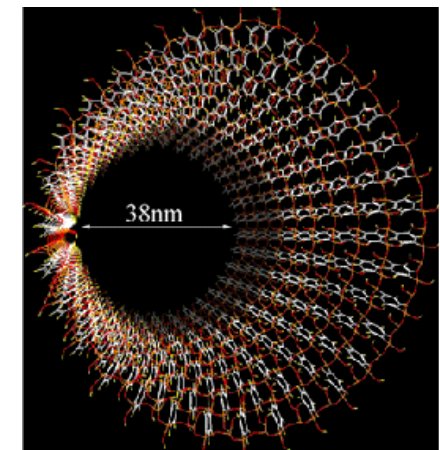
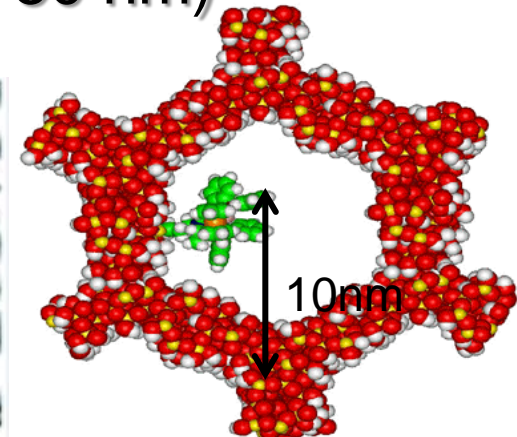
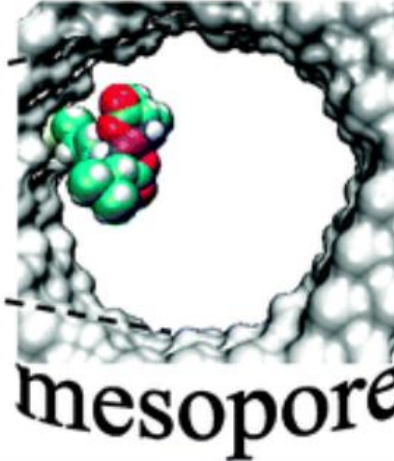
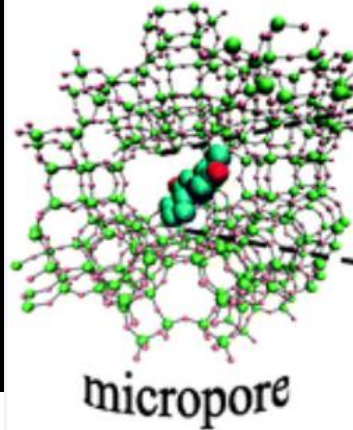
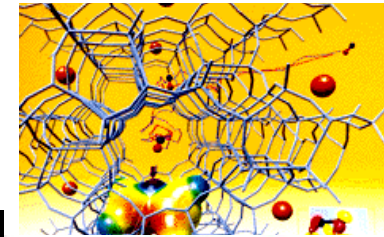
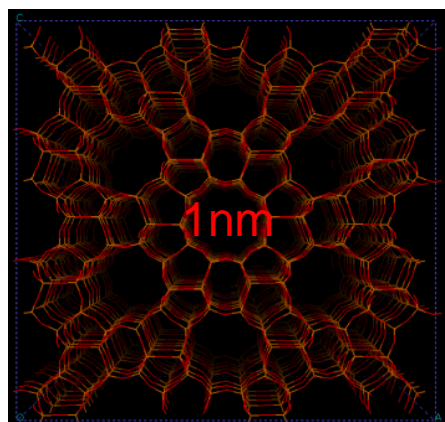
- Veličina pora
- Oblik pora
- Distribucija pora po veličini
- Zapremina pora
- Specifična površina adsorbenta

Pore se formiraju u procesu sinteze datog materijala. Pore su dostupne željenom adsorbatu onda kada su prazne što se postiže aktiviranjem, najčešće zagrevanjem na određenoj temperaturi i u vakuumu.

# Veličina i oblik pora

## Dijametar pora

- mikropore ( $< 2 \text{ nm}$ )
- mezopore ( $2 - 50 \text{ nm}$ )
- makropore ( $> 50 \text{ nm}$ )



## Aktivni ugalj se sastoji od:

1. Mikro pora radijusa manjeg od 1 nm
2. Mezo pora radijusa 1-25 nm
3. Makropora radiusa većeg od 25 nm

Velike pore služe da transportuju adsorbat u mezo- i mikro- pore.

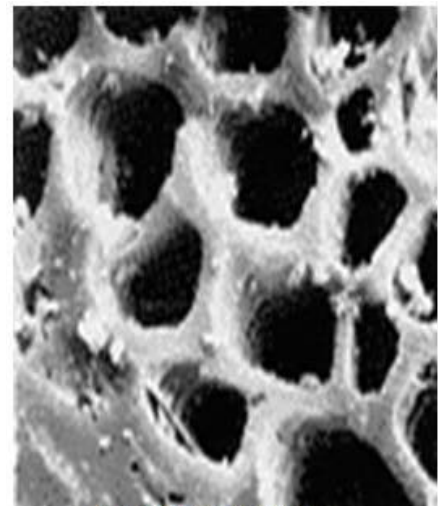
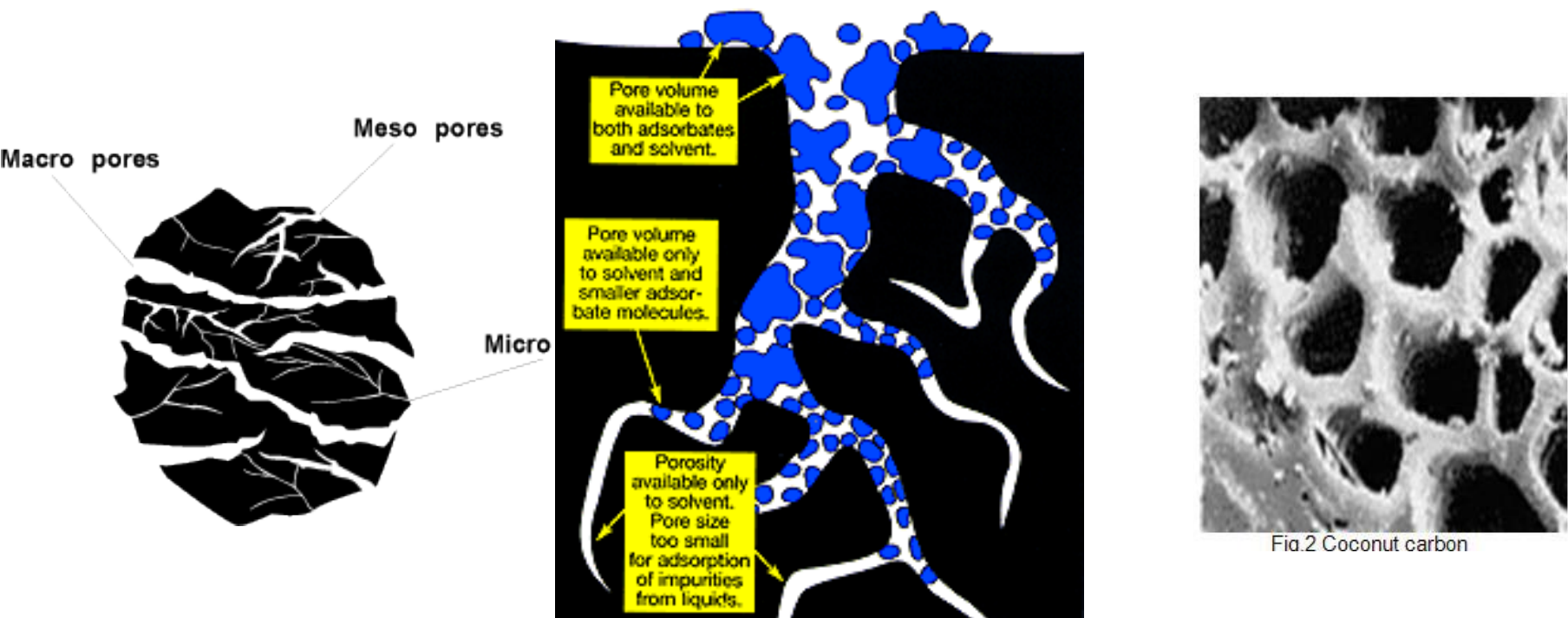
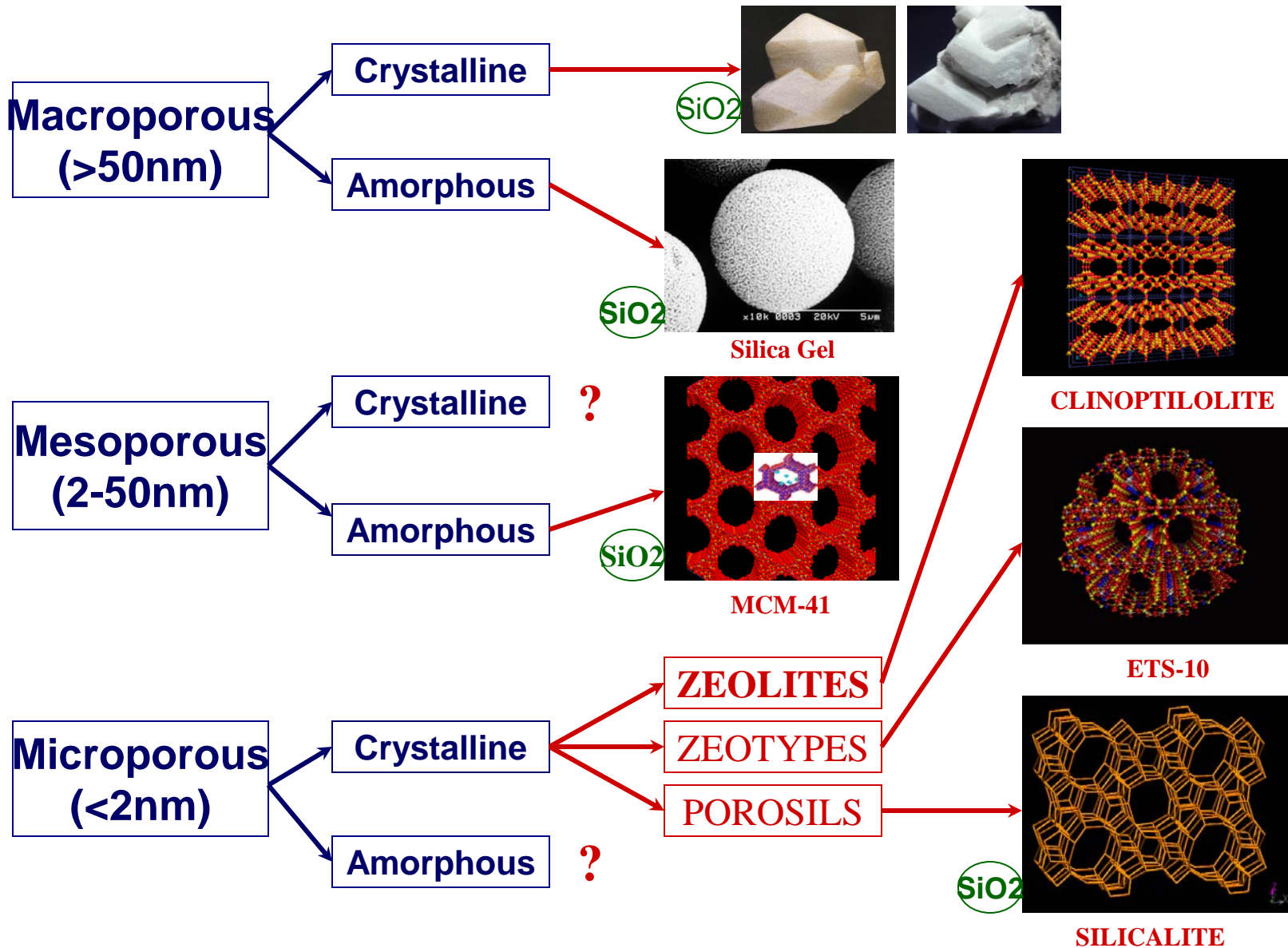
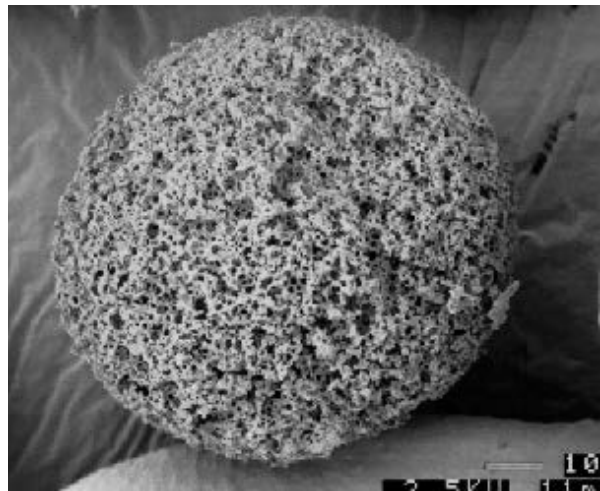


Fig.2 Coconut carbon

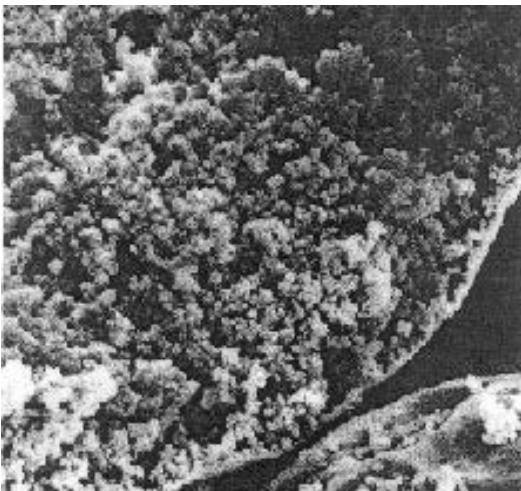
# SILICATE / ALUMINOSILICATE POROUS MATERIALS



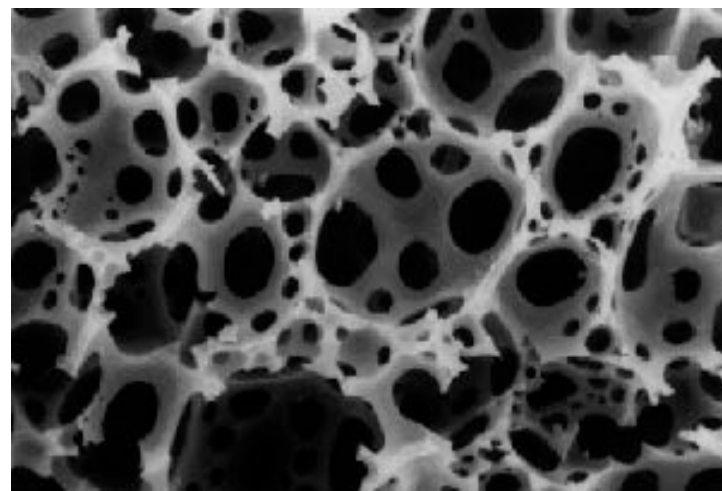
## *Cavilink polimer SEM*



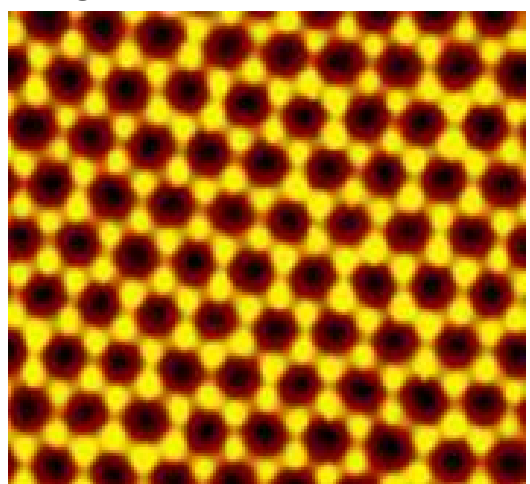
Kuglica Cavilink polimera



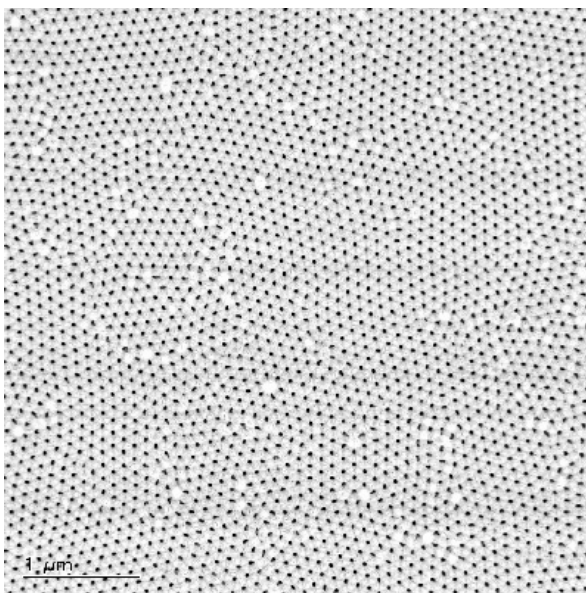
Presek kuglice Cavilink polimera, čestice međusobno povezane



Cavilink polimer sa potpuno otvorenom površinom – interkonekcija pora, kavezi imaju dijametar veći od 10,000 Å.



AFM imidž nanoporoznog aluminijumtrioksida, tamne površine pore prečnika s ~50nm)



SEM mikrografija tamne površine pore aluminujum-oksida prečnika ~25nm)

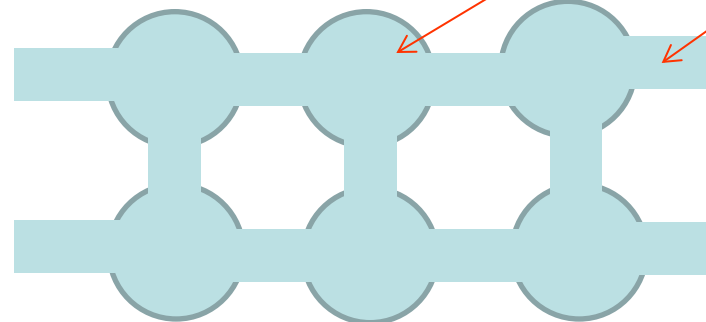
# Definicije svojstava poroznih materijala

- **Porozni materijal** materijal sa kavezima i kanalima koji su dubilji nego širi kavez ili kanal sa otvorom na površini
- **Otvor pore**
- **Povezujuće pore** pore koje su međusobno povezane-adsorbat ostvaruje komunikaciju između njih
- **Slepa pora (mrtva)** Pora koja se nalazi na površini i nije povezana sa drugim porama
- **Zatvorena pora** Kavez koji nije povezan sa površinom
- **Void** Prazan prostor između čestica
- **Mikropora** Pora manje od 2 nm
- **Mezopora** Pora veličine između 2 i 50 nm
- **Makropora** Pora veličine veće od 50 nm

- **Veličina pore** Širina pore (dijametar cilindrične pore, ili rastojanje između zidova)
- **Zapremina pore** Zapremina određena datom metodom
- **Poroznost** Odnos ukupne zapremine pora i prividne gustine čvrste supstance
- **Totalna poroznost** Odnos zapremine praznog prostora između čestica i pora (otvorenih i zatvorenih) i zapremine koju zauzima čvrsta faza
- **Otvorena poroznost** Odnos zapremine slobodnog prostora između čestica i otvorenih pora i zapremine koju zauzima čvrsta faza
- **Površina** Ukupna površina određena nekom metodom pri određenim uslovima
- **Spoljašnja površina** Spoljašnja površina koja ne obuhvata površinu pora
- **Unutrašnja površina** Površina zidova pora
- **Gustina** Gustina čvrste faze, koja ne obuhvata pore i slobodne prostore
- **Prividna gustina** Gustina materijala koja uključuje zatvorene i dostupne pore, određena datim metodom

**Poroznost se najčešće definiše kao odnos zapremine pora i zapremine koju zauzima čvrsta faza. Poroznost čine kavezi i kanali koji imaju veću dubinu nego širinu.**

U mnogim slučajevima **unutrašnja površina** je mnogo veća od **spoljašnje površine**.

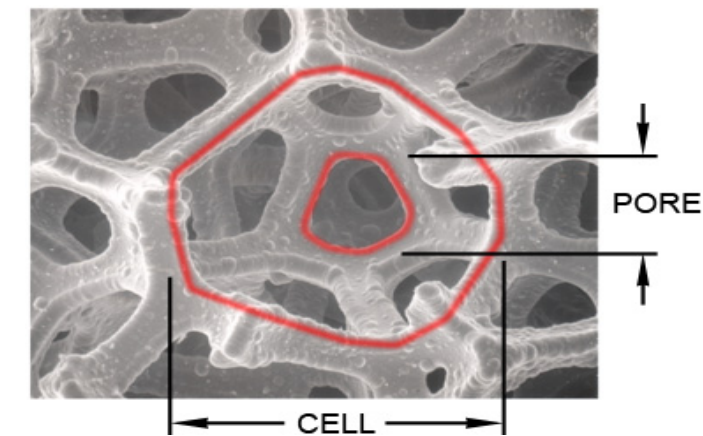
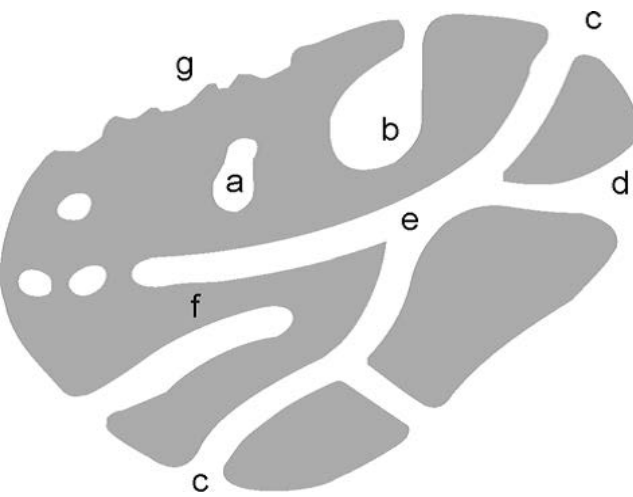


### Dostupnost pore

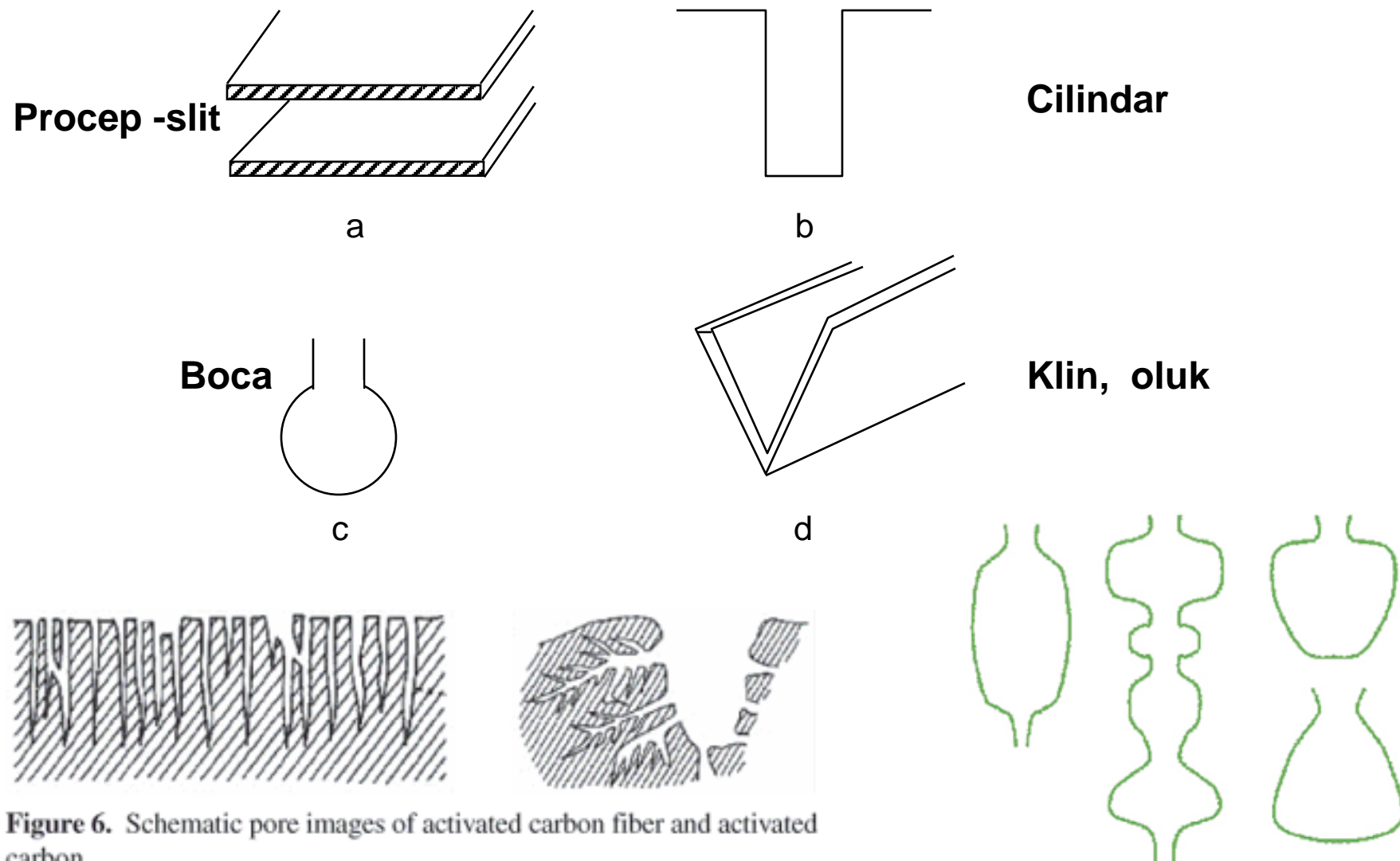
- A- zatvorena pora
- b,c,d,f otvorena pora
- b,f slepa pora
- e spoj pora

### Oblici pora

- c- cilindrična
- f-cilindrična slepa
- d-pora oblika dimnjaka
- g-hrapavost površine

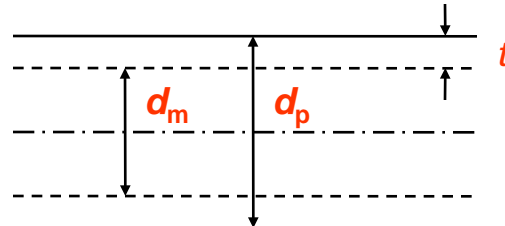


# Oblici pora

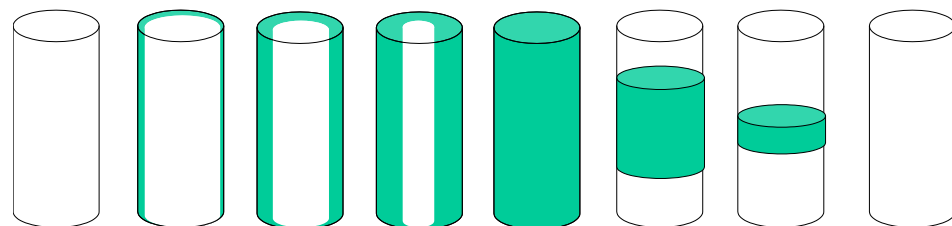


# Adsorpcija na zidovima pora

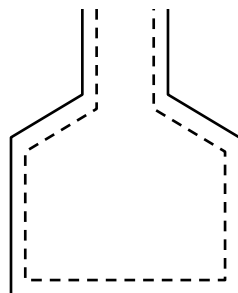
Cilindrična pora



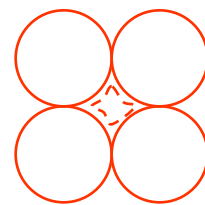
Adsorbovani sloj



Pora u obliku boce



Ink-bottle



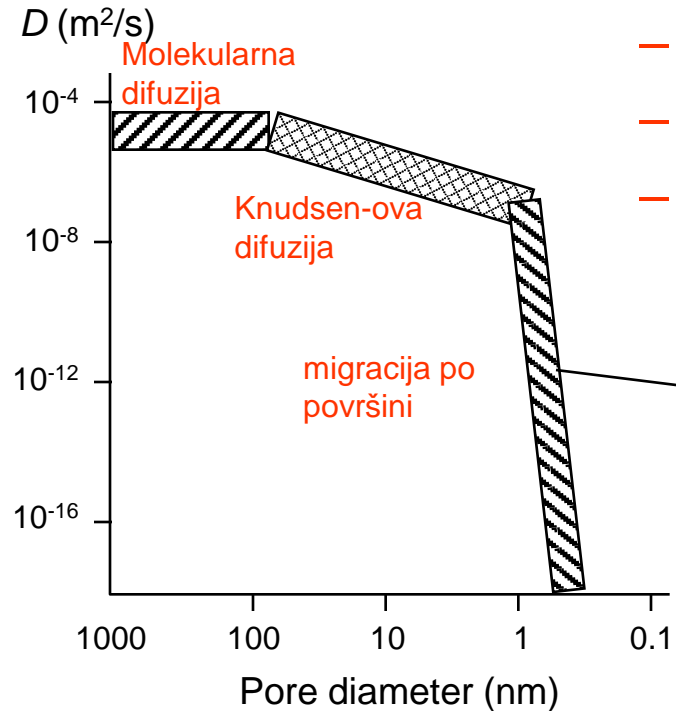
Pora u međuprostoru između čestica koje su u gustom pakovanju

# Veličina pora i difuzioni režim

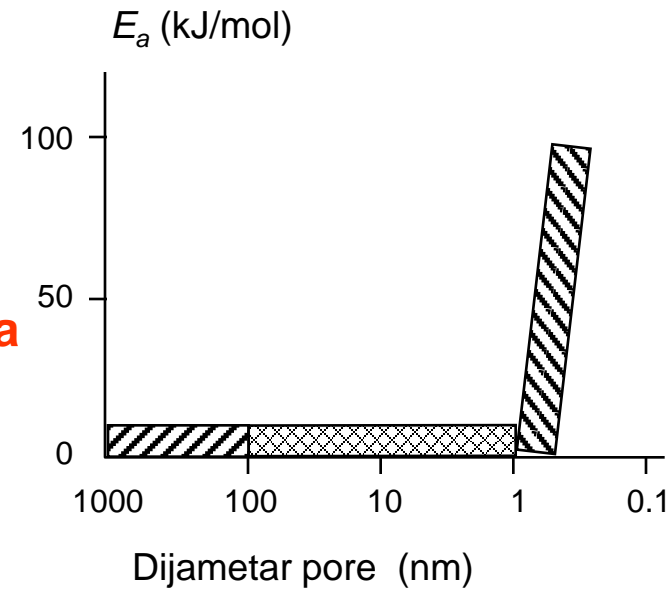
Zašto je ovo važno?

Veličina pora određuje difuzione procese kroz materijal.

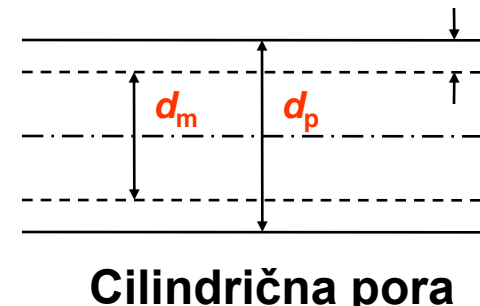
- Tipovi difuzije
  - Molekularna
  - Knudsen-ova
  - površinska



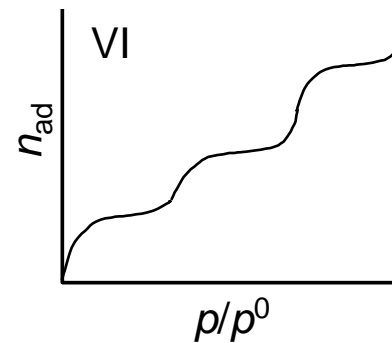
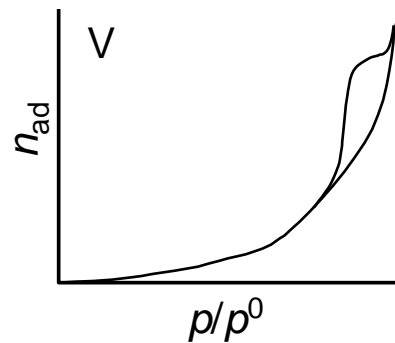
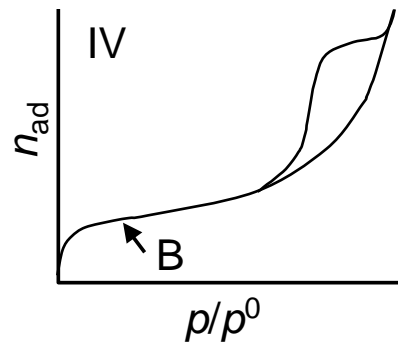
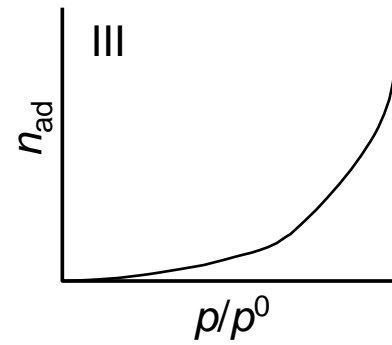
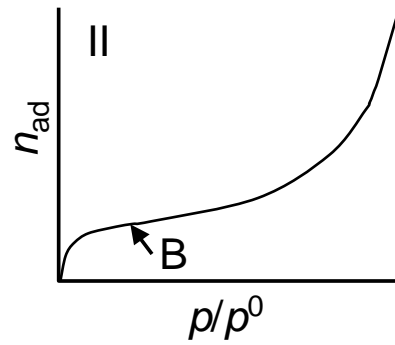
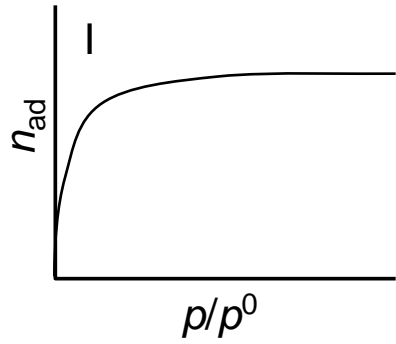
Konfiguraciona  
difuzija migracija  
po površini



- Knudsenov broj :  $K_n = \lambda/d$ 
    - $\lambda$  = dužina srednjeg slobodnog puta molekula
    - $d$ = karakterističan dijametar pore
- $K_n \ll 1$       bulk difuzija  
 $K_n \gg 1$       Knudsen-ov difizija



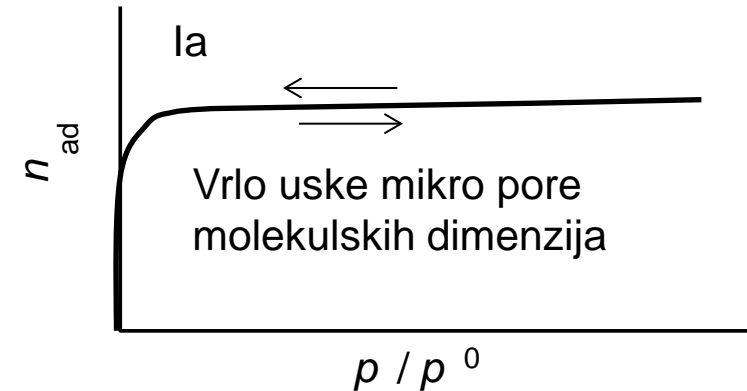
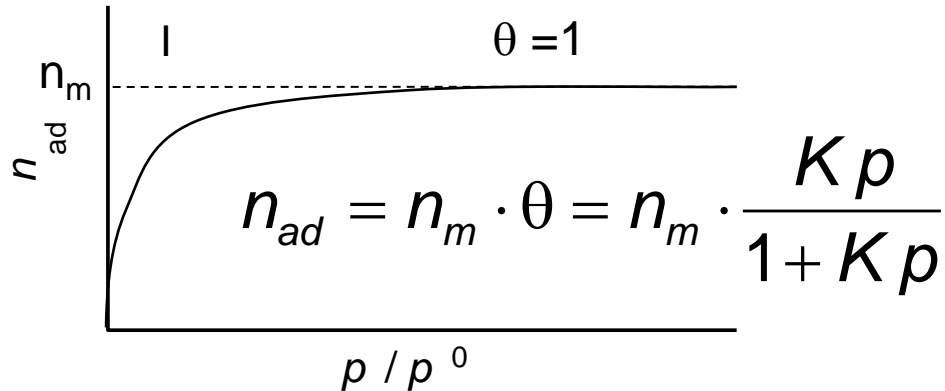
# Tipovi adsorpcionih izotermi



$p$  pritisak gasa,  $p_0$  je napon pare na datoj temperaturi, odnosno napon pare na temperaturi ključanja 1 atm na 77 K za  $\text{N}_2$

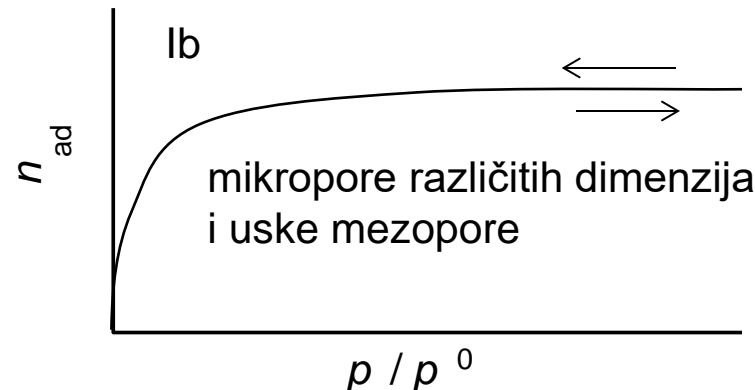
# Langmuirova Adsorptiona Isoterma (Tip I)

Izoterma tipa I. Mikroporozni materijal sa malom spoljašnjom površinom, količina adsorbovane supstance je limitirana, dostiže se saturacija na vrlo niskoj vrednosti  $p/p^0$  adsorbent i adsorbat interaguju u maloj pori, molekulskih dimenzija.

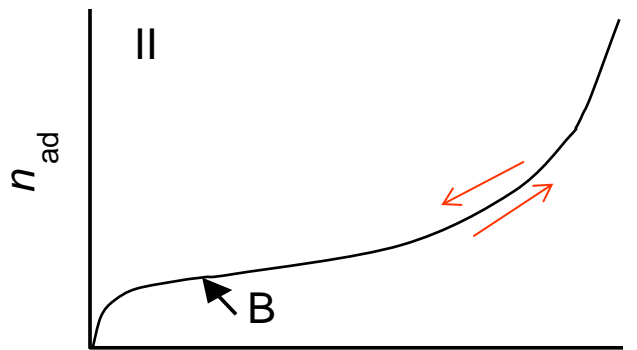


prepostavke:

- homogena površina (svi adsorpcioni centri su energetski identični)
- monomolekulska asorpција
- adsorbat ima osobine idealnog gasa
- adsorbovani molekuli zauzimaju fiksne centre
- nema interakcije između adsorbovanih molekula
- toplota adsorpcije ne zavisi od stepena pokrivenosti.



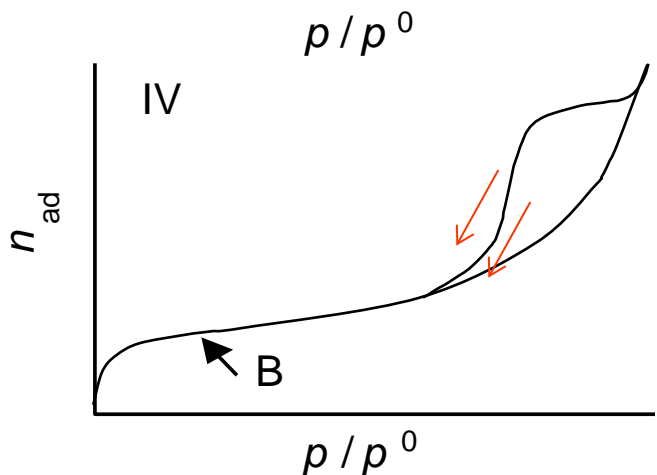
# Izoterme tipa II i IV



Multislojna adsorpcija (početak u B)

Karakteristična za nanoporozne materijale i makroporozne materijale, debljina sloja raste bez ograničenja

Kondenzacija u porama



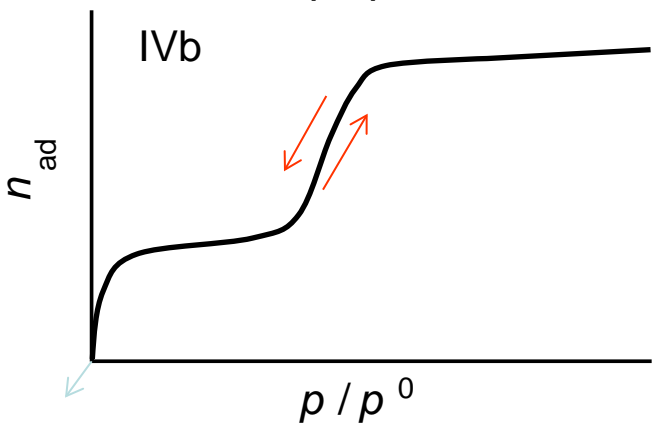
Slična sa tipom II pri malim pritiscima

Kondenzacija pri velikim pritiscima

Karakteristična za mezoporozne materijale

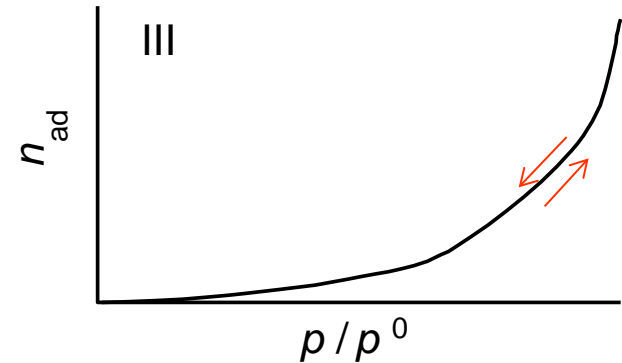
Adsorpcione osobine određuje interakcija između adsorbenta i adsorbata u kondenzovanoj fazi. Gas se kondenuje na pritisku manjem pod  $p_0$

Histerezus počinje u slučaju adsorpcije  $N_2$  na sloju debljine 4 nm

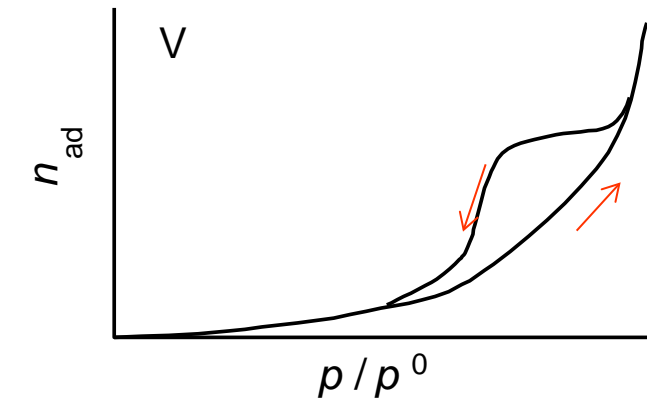


Mezoporozni materijal koji ima pore manje širine ima kompletno reverzibilnu desorpcionu granu, cilindrične zatvorene pore ili kupaste pore

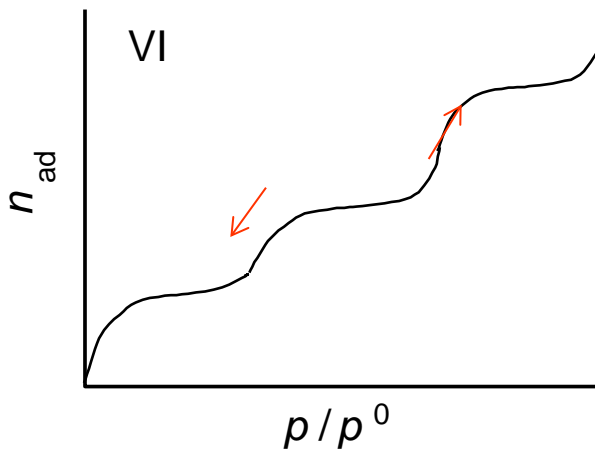
# Izoterme tipa III i V



Stroge kohezije sile između adsorbovanih molekula  
Nema karakterističnog monosloja, interakcija adsorbent-adsorbat je veoma slaba, molekuli adsorbata grade klastere na površini nano- i makroporoznih materijala



Vrlo slična kao tip III na malim pritiscima  
Relativno slaba interakcija adsorbent-adsorbat  
Kondenzacija na visokim pritiscima  $p$   
*Na visokim pritiscima molekuli adsorbata grade klastere ispunjavajući pore*  
*Ovaj tip se javlja pri adsorpciji vode na hidrofobnim mikroporoznim i mezoporoznim adsorbentima*

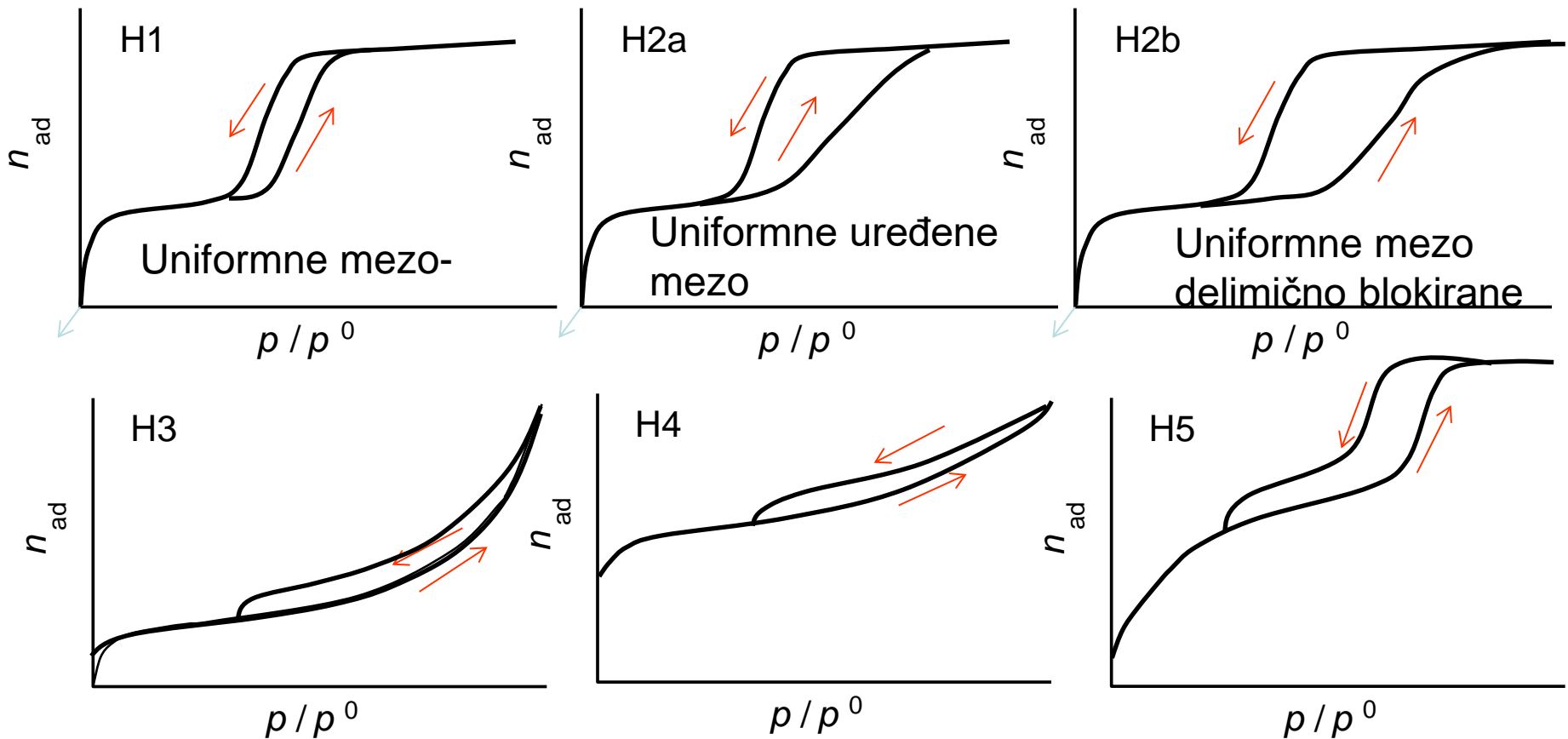


Reprezentuje sloj po sloj adsorpcije na energetski neuniformnoj površini i plato svakog sloja određuje kapacitet datog adsorpcionog centra  
Primer je adsorpcija Ar, Kr na niskim temperaturama na grafitizovanom aktivnom uglju

## Histerezisne petlje

Informacije o obliku pora

Histerezisne petlje su karakteristične za višeslojnu adsorpciju, generalno su povezane sa kapilarnom kondenzacijom, zavise od oblika pora, njihove povezanosti i različitih načina na koji pore mogu da budu blokirane



Agregati pločastih struktura  
koji slabo interaguju

Zeolitski agregati

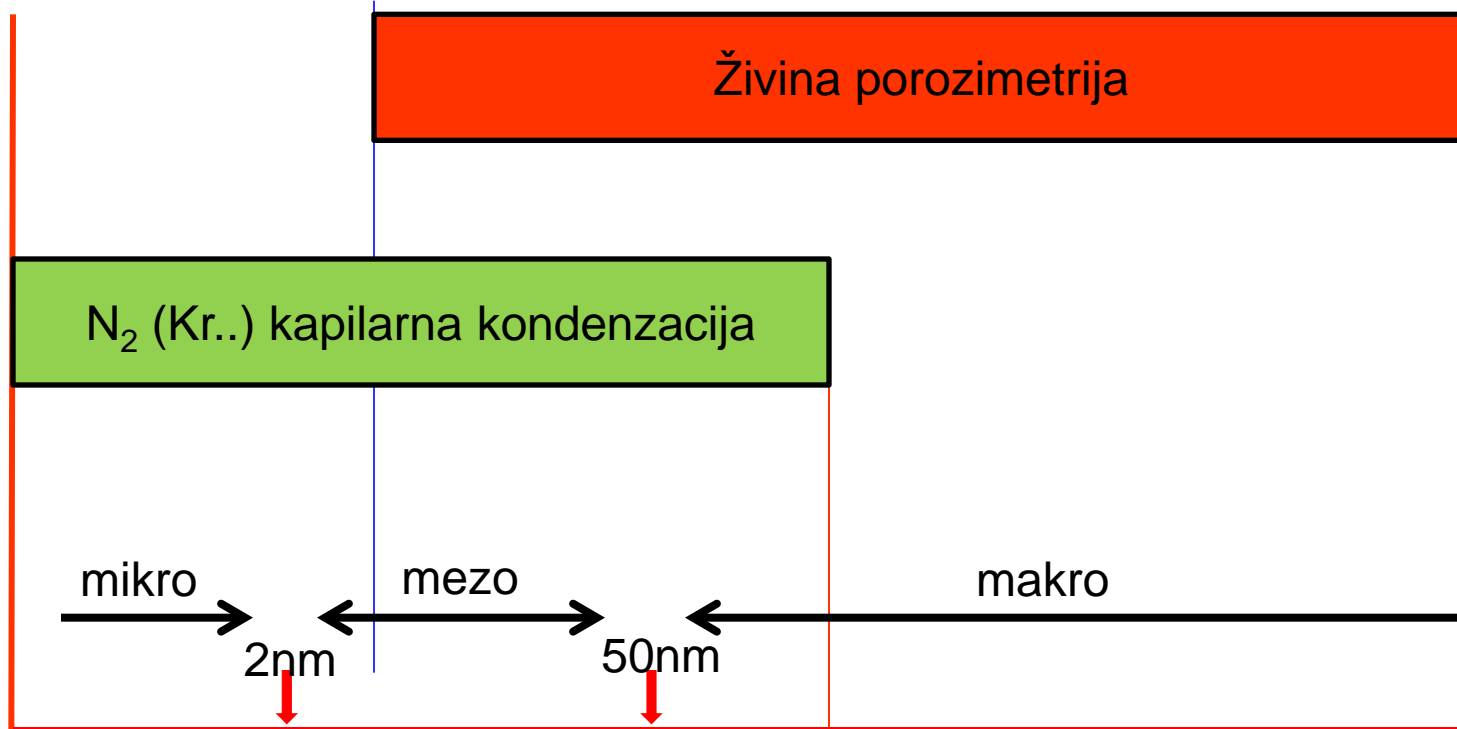
Blokirane i parcijalno blokirane

# **Svojstva adsorbata koji se koriste u fizisorpcionim merenjima**

Adsorbate	Boiling Point (K)	$A_m$ (nm <sup>2</sup> /molecule)
N <sub>2</sub>	77.3	0.162
Ar	87.4	0.142
CO <sub>2</sub>	194.5	0.17
Kr	120.8	0.152

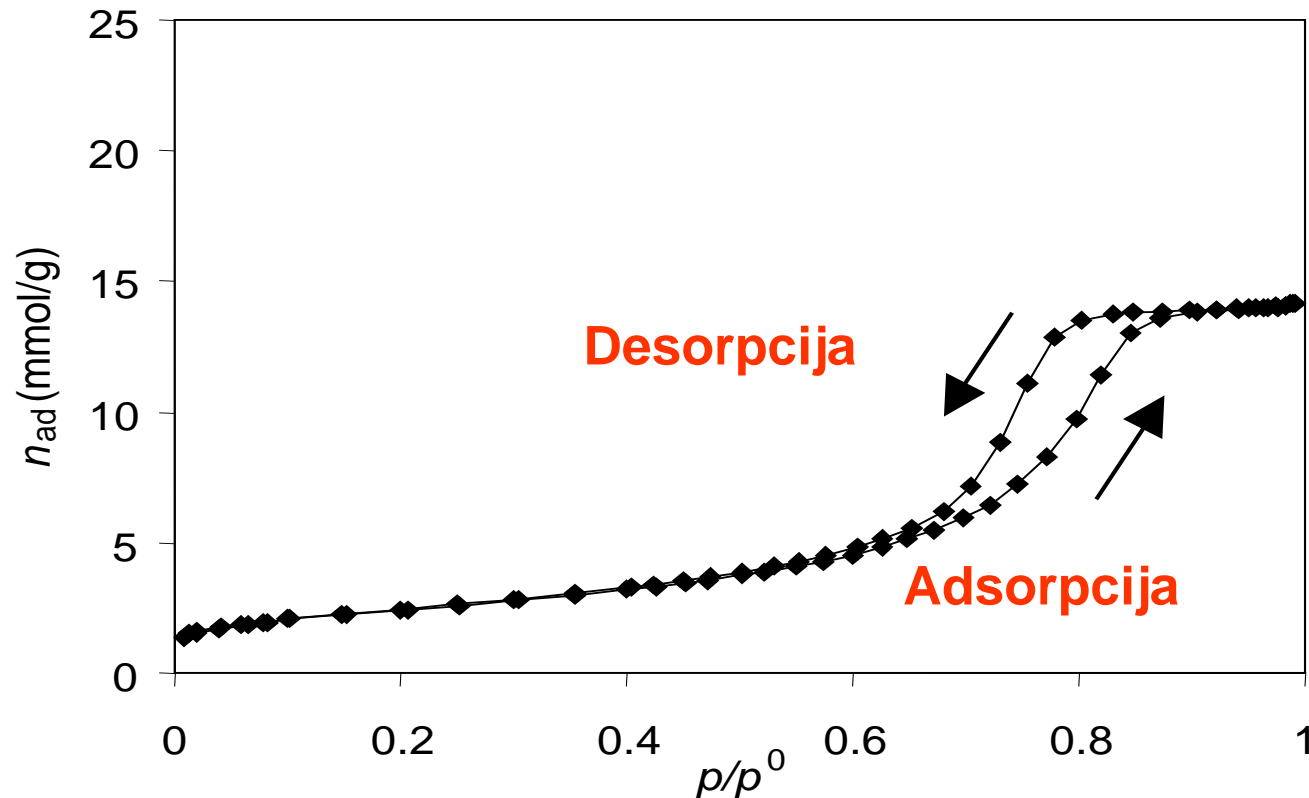
# Dijametri pora i tehnike meranja

- Eksperimentalne tehnike
  - Kapilarna kondenzacija
  - Utiskivanje žive - Hg intrusion
  - Mikroskopija



# Adsorpcione izoterme

1. Volumerijski metod
2. Gravimetrijski metod



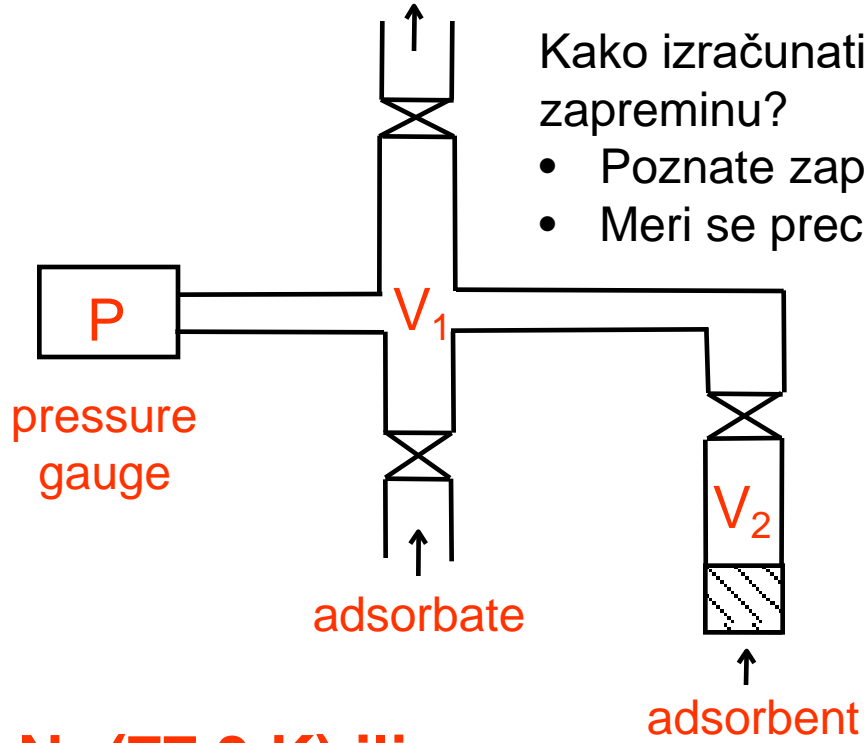
$p$  pritisak gasa

$p^0$  napon pare na datoj temperaturi

# Zapreminska adsorpciona merenja

1. Precizno merenje pritiska
2. Visoki vakuum
3. Precizna kalibracija sistema
4. Održavanje temperature na temperaturi ključanja gasa sa kojim se meri adsorpcija

high vacuum



Kako izračunati broj molova adsorbovanog gasa i njegovu zapreminu?

- Poznate zapremine  $V_1$  i  $V_2$
- Meri se precizno pritisak

$$PV=nRT$$

$N_2$  (77.3 K) ili

Ar, He,  $CH_4$ ,  $CO_2$ , Kr

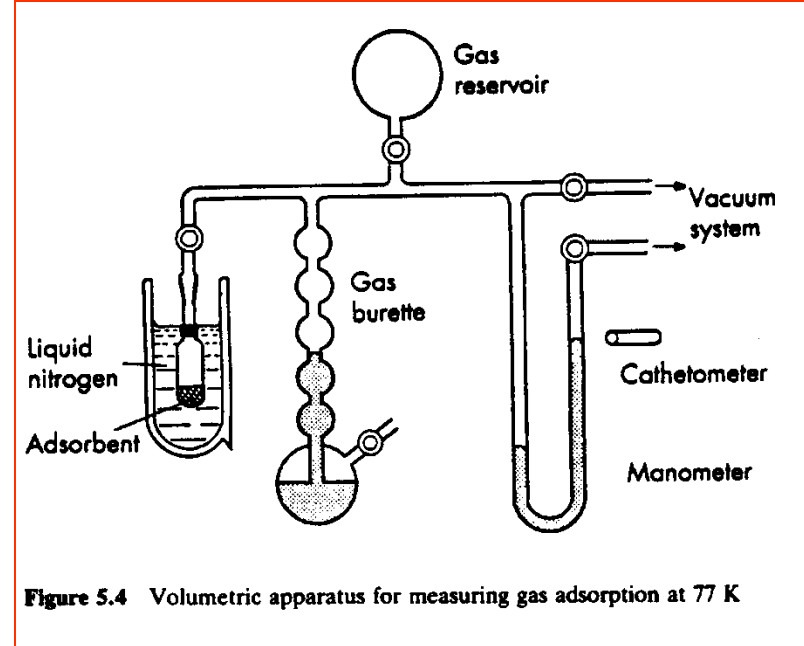


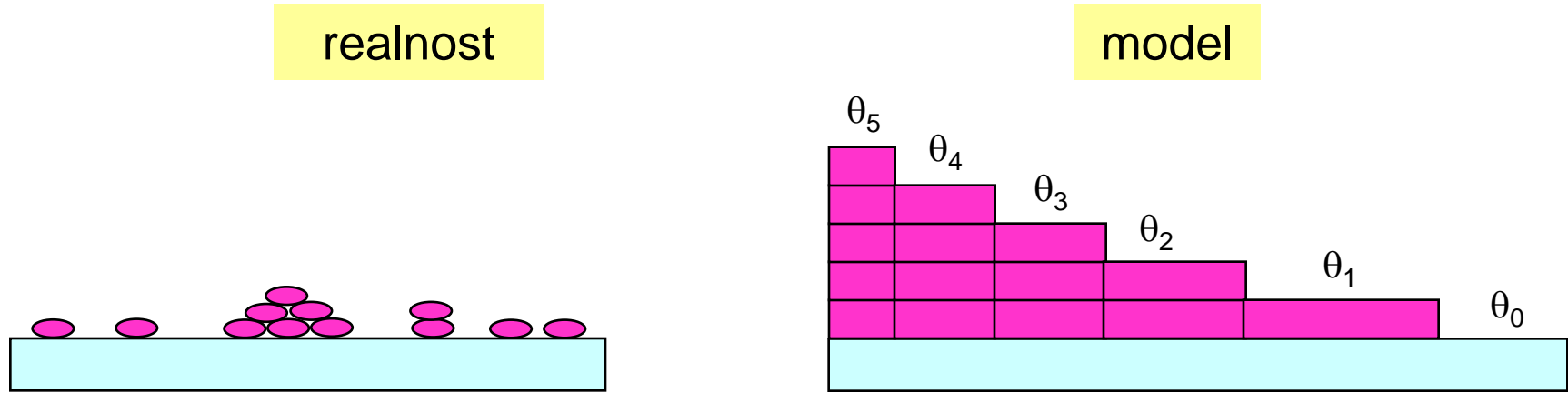
Figure 5.4 Volumetric apparatus for measuring gas adsorption at 77 K

# BET ADSORPCIONA IZOTERMA

## Prepostavke:

- Na svaki sloj se primenjuje se Langmirov model adsorpcije.
- Entalpija adsorpcije,  $\Delta H_{ads}$  za prvi sloj ima vrednost za interakciju adsorbent-adsorbat, a za svaki naredni sloj se uzima entalpija isparavanja  $\Delta H_{vap}$ .
- isparavanje (ili desorpcija) se odvija sa eksponirane površine .
- Brzina isparavanja je jednaka sa brzinom kondenzacije datog sloja.

# BET Model



$$\sum \theta_i = 1 \quad n_{\text{ad}} = n_m (\theta_0 + 2\theta_1 + 3\theta_2 + \dots)$$

Langmuir-ov model  
za svaki sloj

**1<sup>st</sup> layer**

$$k_a^0 \theta_0 p = k_d^1 \theta_1$$

$$\theta_1 = \frac{k_a^0}{k_d^1} p \theta_0 = K_1 p \theta_0$$

$$K_1 = K_{1,0} e^{-\frac{\Delta H_{\text{ads}}}{RT}}$$

**n<sup>th</sup> layer**

$$k_a^{n-1} \theta_{n-1} p = k_d^n \theta_n$$

$$\theta_n = \frac{k_a^n}{k_d^1} p \theta_{n-1} = K_n p \theta_{n-1}$$

$$K_n = K_{n,0} e^{-\frac{\Delta H_n}{RT}} \approx K_{n,0} e^{-\frac{\Delta H_{\text{cond}}}{RT}}$$

→  $C = e^{\frac{\Delta H_{\text{ads}} - \Delta H_{\text{cond}}}{RT}}$

$$\frac{n_{\text{ad}}}{n_m} = \frac{C}{\left(1 - \frac{p}{p^0}\right)} \frac{\frac{p}{p^0}}{\left(1 + (C-1)\frac{p}{p^0}\right)}$$

# BET (Brunauer, Emmett, Teller) Metod

- **Modifikacija Langmirove izoterme**
- **Monoslojna i multislojna adsorpcija**
- **Slojevi adsorbovanih molekula se razlikuju po:**
  - Prvi sloj se adsorbuje sa entalpijom adsorpcije  $\Delta H_{ad,1}$
  - Drugi i sledeći slojevi se adsorbuju sa  $H_{ad,2} = \Delta H_{cond}$

**BET izoterma:**

$$\frac{p}{n_{ad}(p^0 - p)} = \frac{1}{n_m C} + \frac{C-1}{n_m C} \cdot \frac{p}{p^0}$$

$$C = \exp\left(\frac{\Delta H_{ad} - \Delta H_{cond}}{RT}\right)$$

- **BET jednačina ne fituje sve tipove adsorpcionih izotermi**
  - Različiti mehanizmi igraju različitu ulogu pri niskim i visokim  $p$

# BET jednačina

p pritisak gasa

p<sup>o</sup> napon pare

V<sub>m</sub> zapremina

monomolekulskega sloja

V je merena zapremina

adsorbovanog gasa

$$\frac{V}{V_m} = \frac{cx}{(1-x)[1+(c-1)x]}$$

$$\frac{x}{V(1-x)} = \frac{1}{cV_m} + \frac{(c-1)x}{cV_m},$$

$$x = p / p_o$$

1: Crta se  $x / [V(1-x)]$  su f-ji od x

2: odrediti iz linernog dela grafika

odsečak  $1 / (cV_m)$

nagib  $(c-1) / (cV_m)$

3: izračunati c, V<sub>m</sub>

$$V_m = 1 / (\text{nagib} + \text{odsečak})$$

V<sub>m</sub> se koristi za  
određivanje specifične  
površine.

# Specifična površina & Monomolekularna adsorpcija

Specifična površina  
(m<sup>2</sup>/g)

Avogadroova  
konstanta  
(molekula/mol)

$$S = n_m A_m N$$

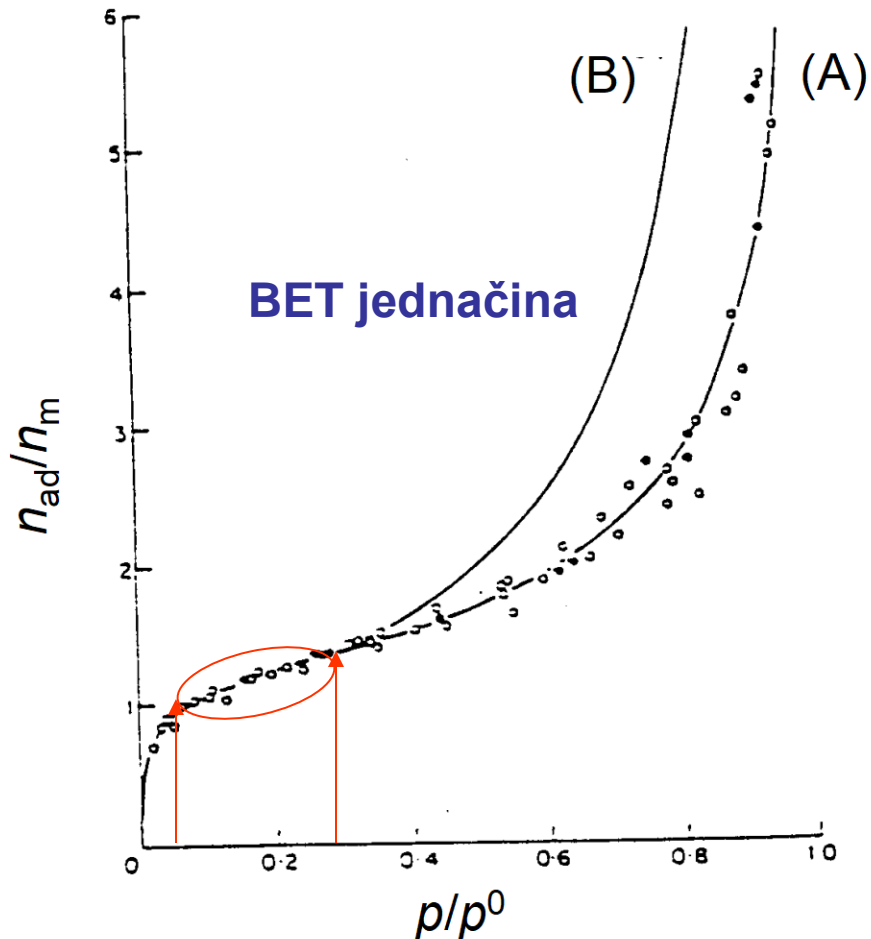
Monomolekulski  
kapacitet (mol/g)

Površina koju zauzima  
jedan molekul  
(m<sup>2</sup>/molekulu)

BET model:  $S_{BET}$

t model:  $S_t$

# Porozna slika i alumina



Nizak  $p/p_0$ :

- ispunjavaju se mikropore
- favorizovano je popunjavanje najaktivnijih centara (heterogenost)

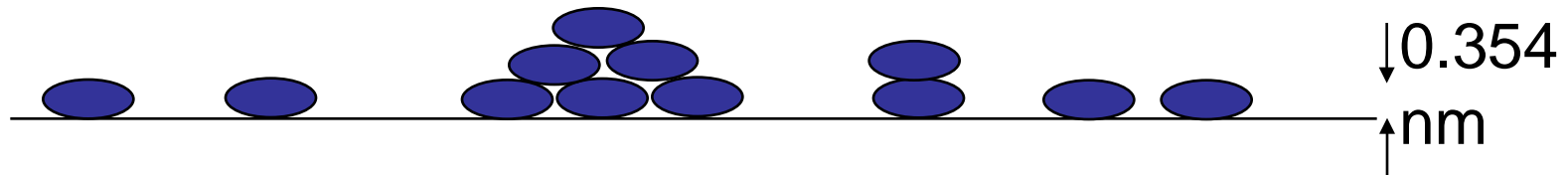
Visok  $p/p_0$ :

- kapilarna kondenzacija

Opseg  $0.05 < p/p_0 < 0.3$  se koristi za određivanje  $S_{BET}$

# *t*-metod

- BET
  - Važi samo u intervalu malih pritisaka only
  - Interpretacija nije laka
- Debljina (*t*) adsorbovanog sloja se izračunava



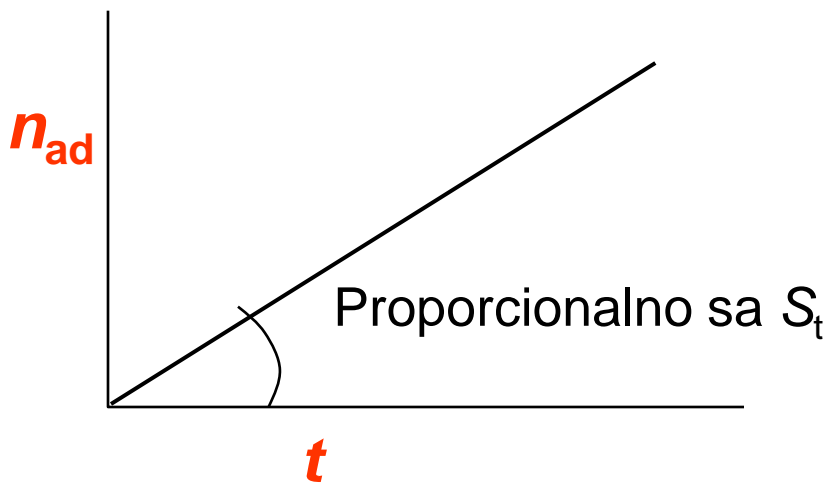
- Grafik *t* u funkciji *p* za neporozne materijale ima vrednost površine
- *t*-grafik pomaže u interpretaciji rezultata

# **t-metod**

$$S_t = n_m \cdot A_m \cdot N$$

$$\Rightarrow S_t = \frac{n_{ad}}{t} \cdot 0.354 \cdot 10^{-9} \cdot A_m \cdot N$$

$$\Rightarrow S_t = 5.73 \cdot 10^{-6} \cdot \frac{n_{ad}}{t}$$

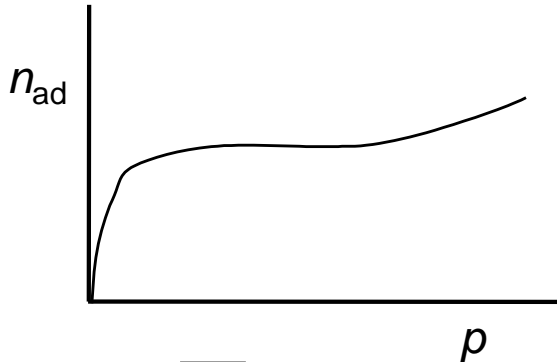


$$t = \frac{n_{ad}}{n_m} \cdot 0.354 \text{ nm}$$

# Oblik t-grafika

$$t = \frac{n_{ad}}{n_m} \cdot 0.354 \text{ nm}$$

Adsorption isotherm



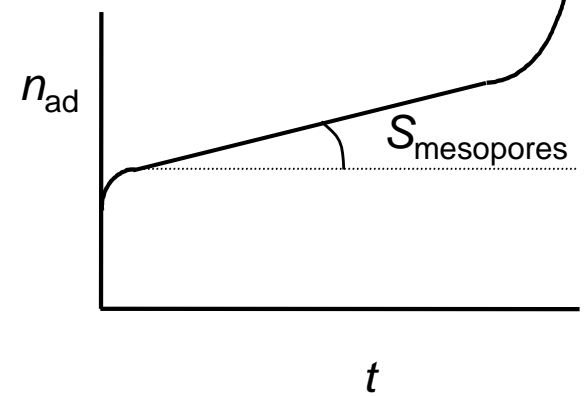
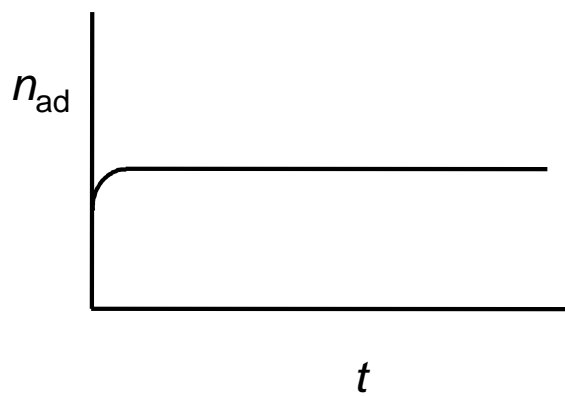
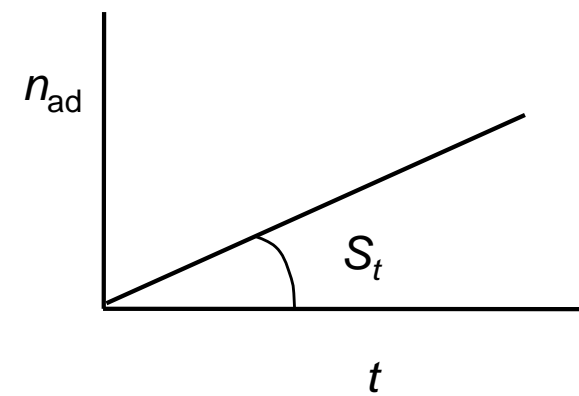
$$t = f(p)$$

A downward-pointing arrow indicating a transformation or relationship between the isotherm and the time graph below it.

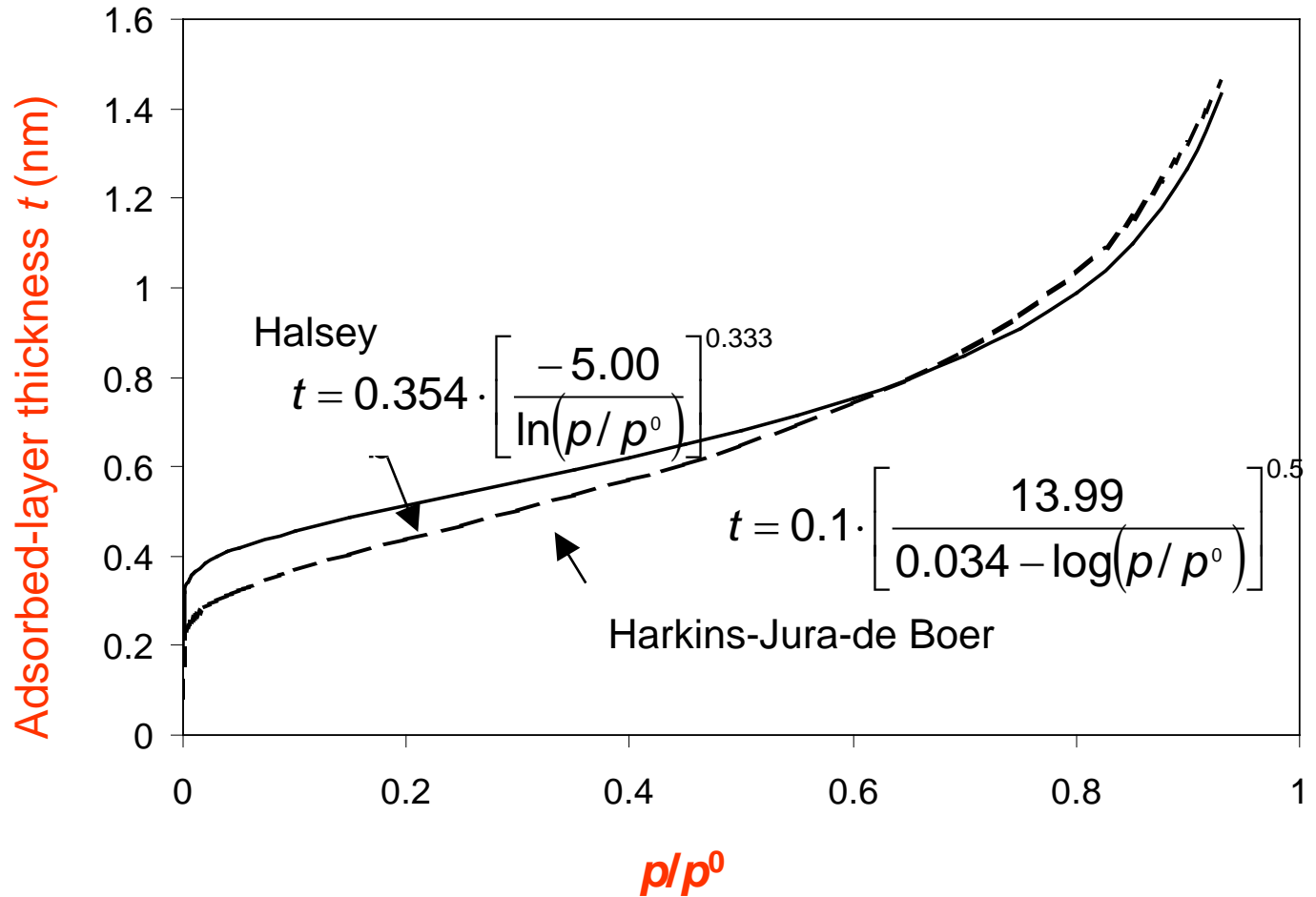
Non-porous

Microporous

Micro- and mesoporous



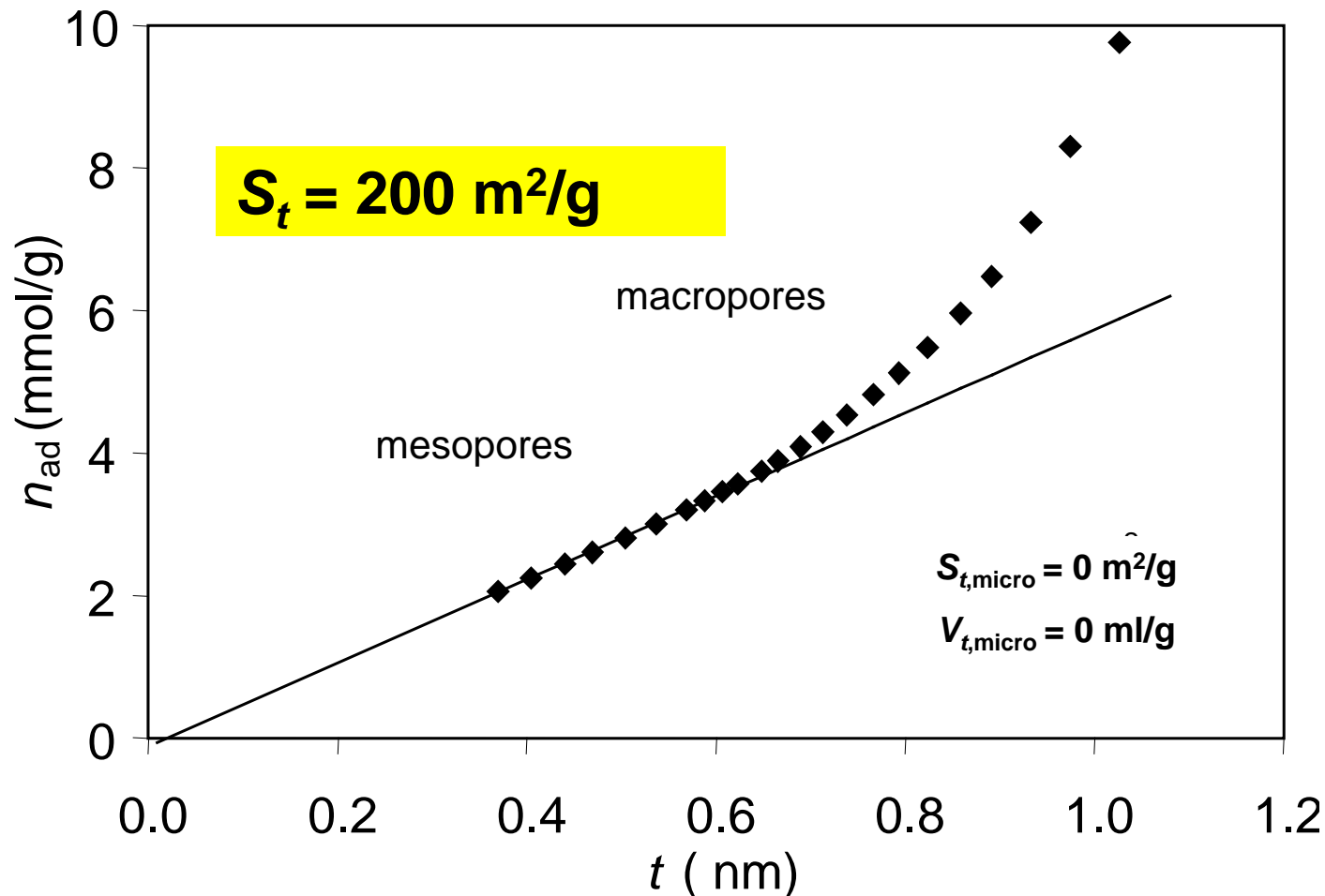
# *t*-krive



# Interpretacija t-krive

$\gamma$ -alumina

$$t = \frac{n_{\text{ad}}}{n_m} \cdot 0.354 \text{ nm}$$



# Zapremina mikropora

Adsorpciona izoterma tipa I ima horizontalni plato i daje kapacitet za adsorpciju u mikroporama  $n_p$ , odakle se može izračunati zapremina mikropora  $V_p$  uz prepostavku da se pore popunjavaju kondenzujući gas do normalnog tečnog stanja. (Gurivić, ref u IUPAC Tec. Rep).

Drugi veoma često korišćen metod je Dubinin Raduškevič jednačina.

**Dubinin-Radushkevich jednačina:** 
$$V = V_o \exp(-b\varepsilon^2)$$

$V_o$  je zapremina pora a  $V$ , zapremina zauzeta pri datoj vrednosti  $p_o/p$ .

Gde  $\varepsilon_x$  predstavlja rad uložen da se savlada sila kojom adsorbent drži molekule adsorbata i da se molekul adsorbata nađe na rastojanju  $l$  od površine.

$$\varepsilon_x = RT \ln \frac{p_o}{p}$$

$$\ln V = \ln V_o - \left( \frac{RT}{E} \right)^2 \ln \left( \frac{p_o}{p} \right)$$

**Zapremina mikropora**

# Raspodela veličine pora

Kelvinova jednačina za azot

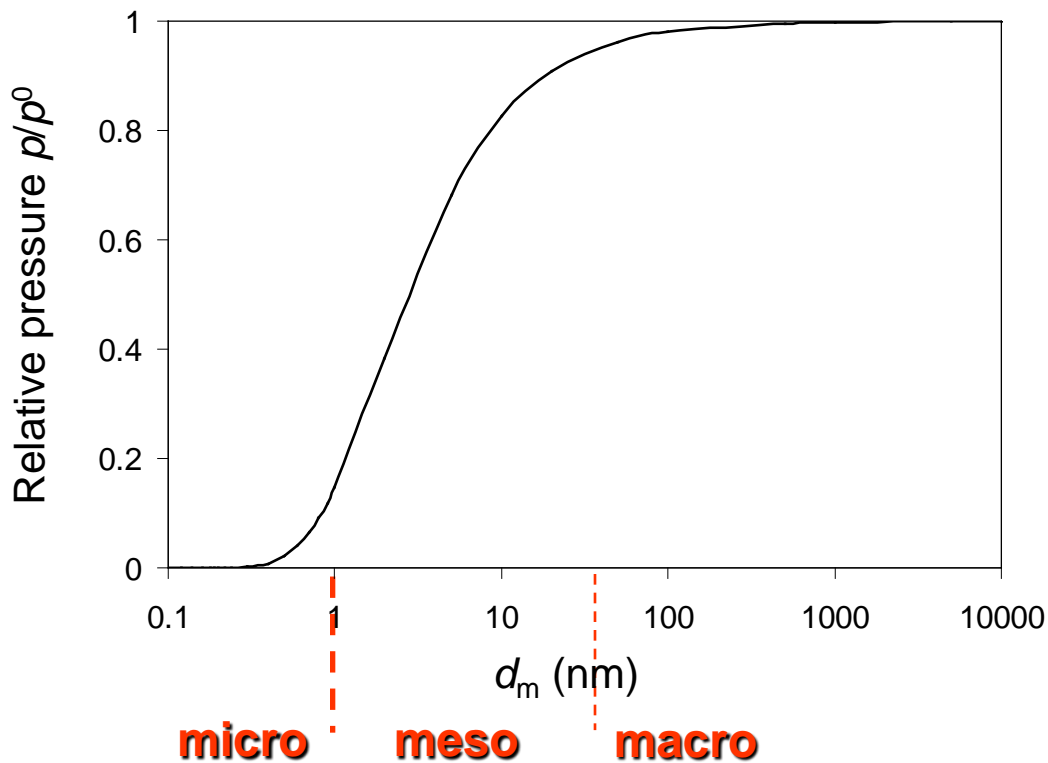
$$\ln \frac{p}{p^0} = -\frac{2\gamma V_L}{RT} \frac{1}{r_m}$$

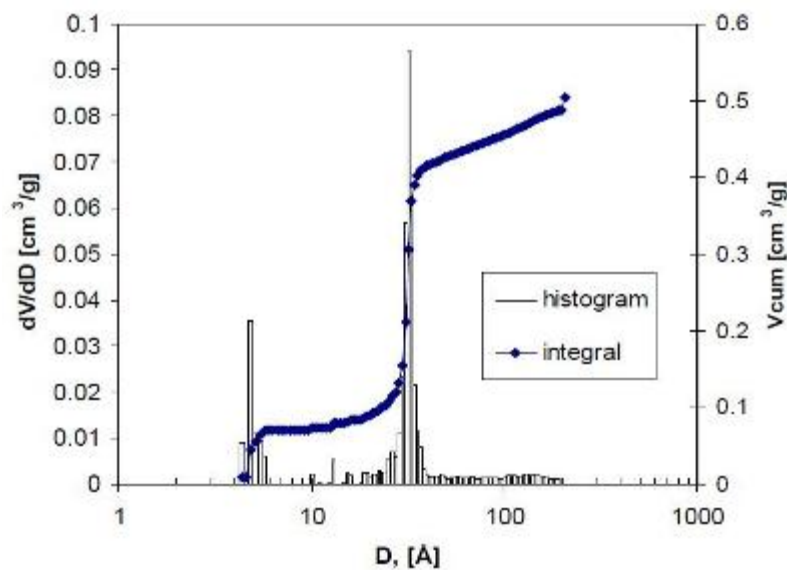
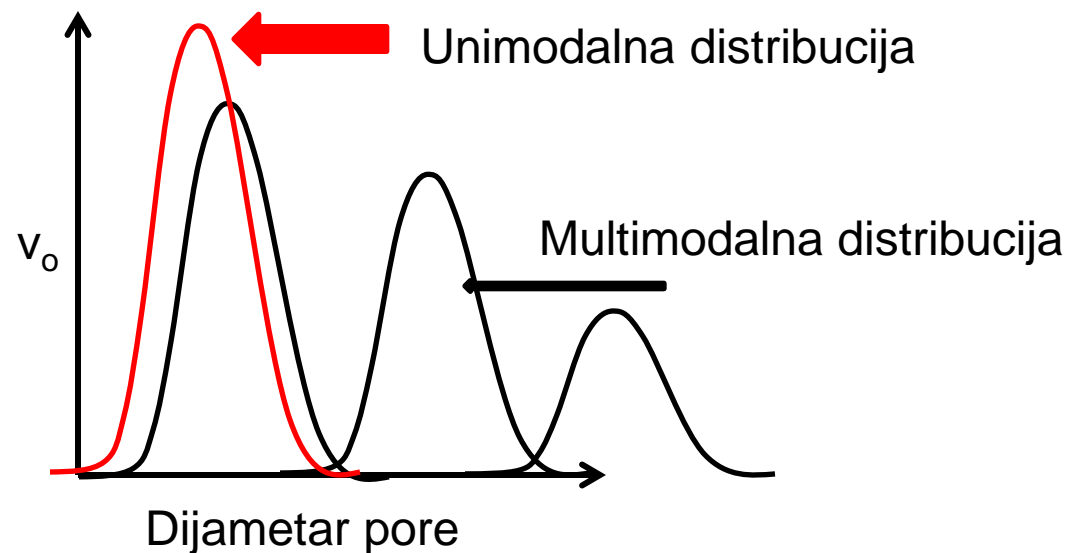
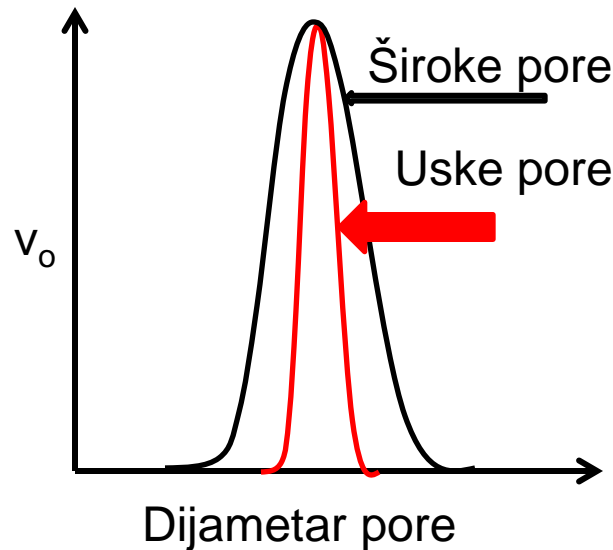
Model

Kanali sa cilindričnim porama

$V_L = 34.68 \cdot 10^{-6} \text{ m}^3/\text{mol}$  molarna  
zapremina

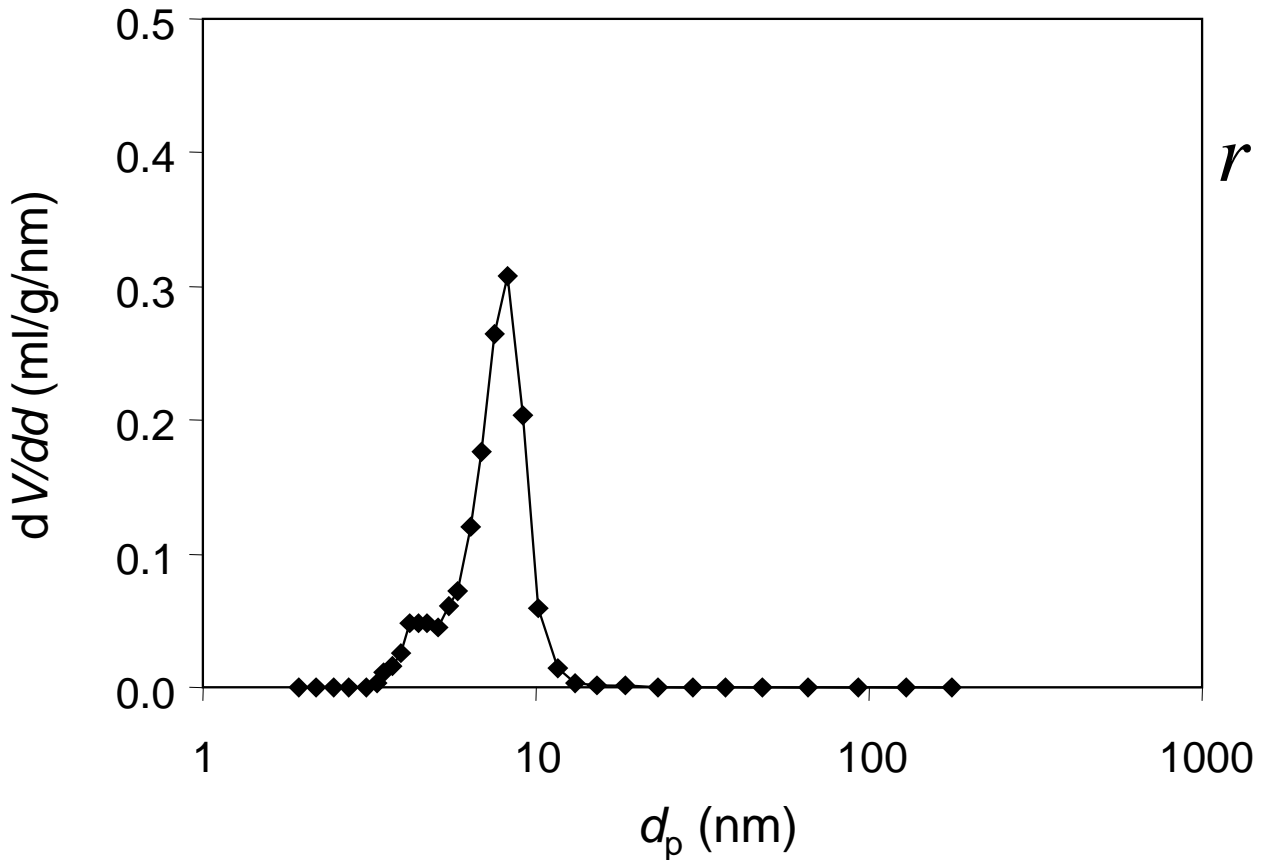
$\gamma = 8.88 \text{ mN/m}$  površinski napon  
 $r$  radijus površine





# Raspodela veličine pora $\gamma$ -alumina

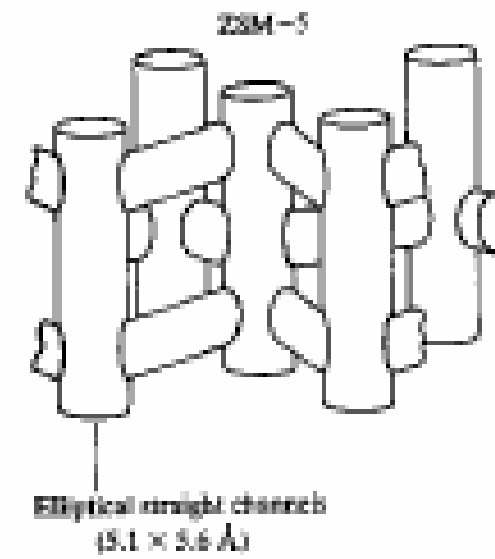
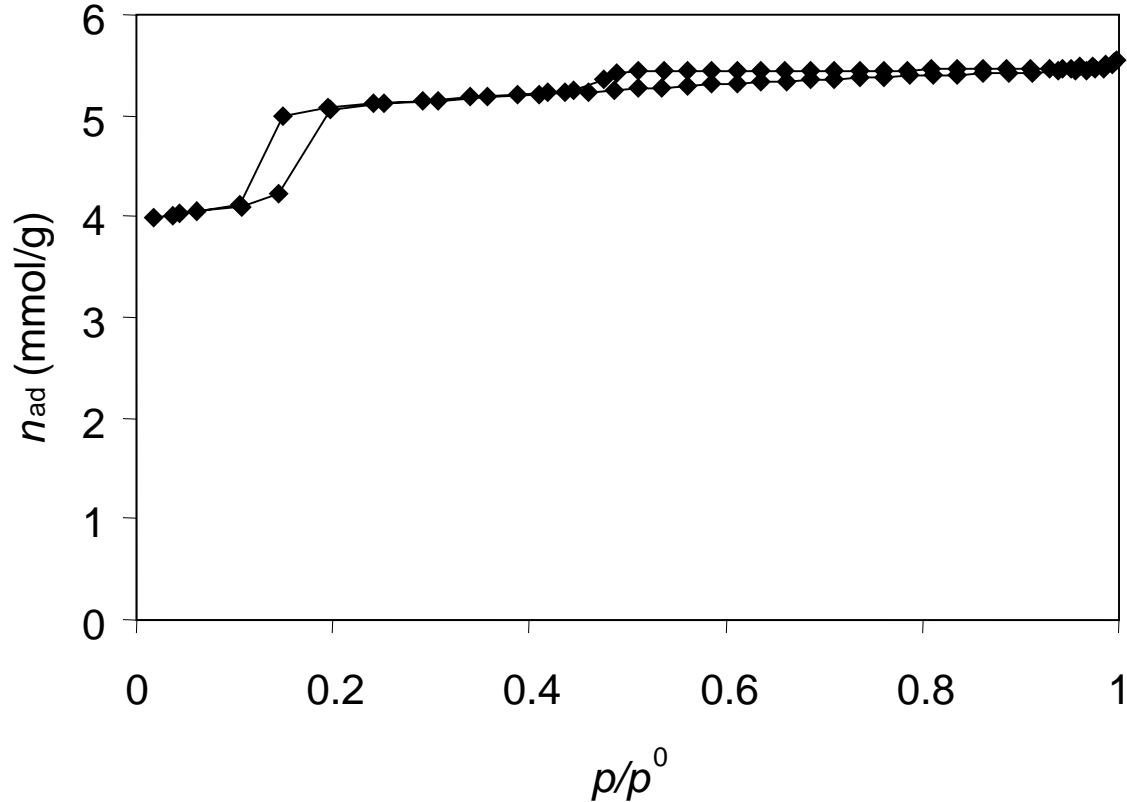
$$t = \frac{n_{\text{ad}}}{n_m} \cdot 0.354 \text{ nm}$$



$$r = t + \frac{2\gamma V}{RT \ln \frac{p^o}{p_o}}$$

$$\ln V = \ln V_o - \left( \frac{RT}{E} \right)^2 \ln \left( \frac{p_o}{p} \right)$$

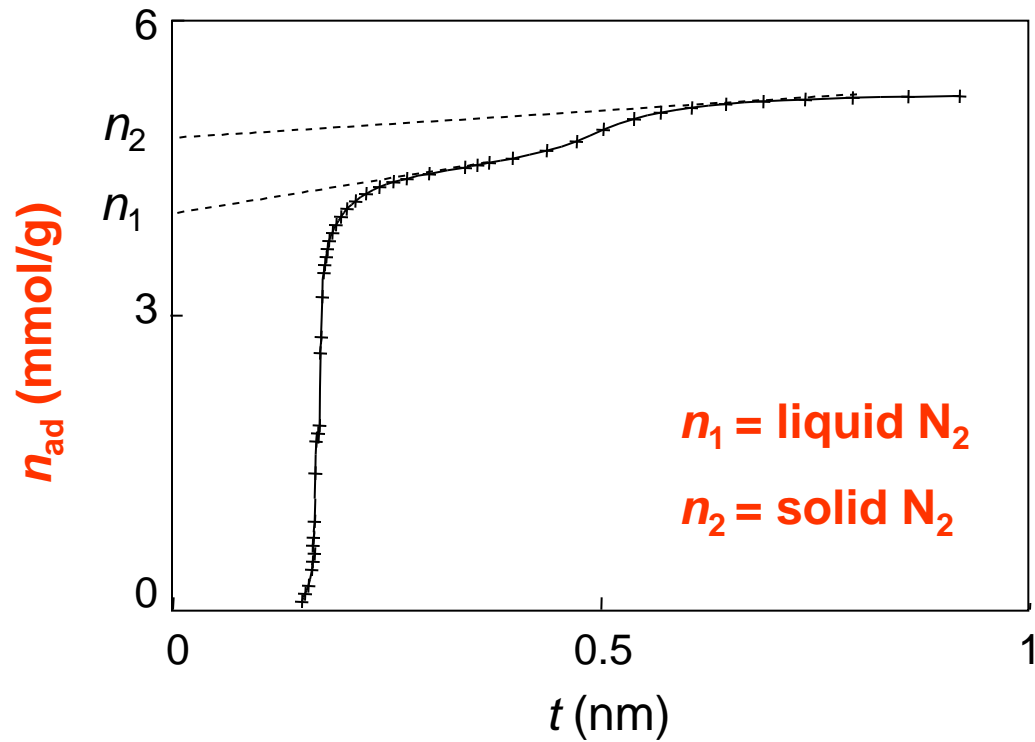
# $N_2$ Adsorpciona izoterma na ZSM-5 zeolitu



Jaka adsorpcija pri niskom  $p$  zbog kondenzacije u mikroporama

Pri višim  $p$  dolazi do saturacije zbog konačne zapremine mikropora

# $t$ -kriva fizisorpcije $\text{N}_2$ na ZSM-5 zeolitu



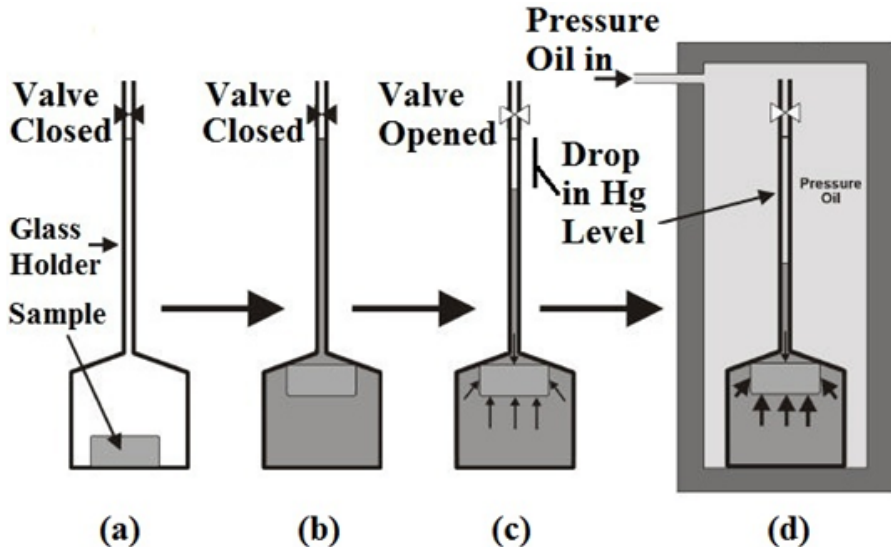
# Živina porozimetrija

- Hg ne kvasi površine; potreban pritisak da bi se živa utisnula u pore

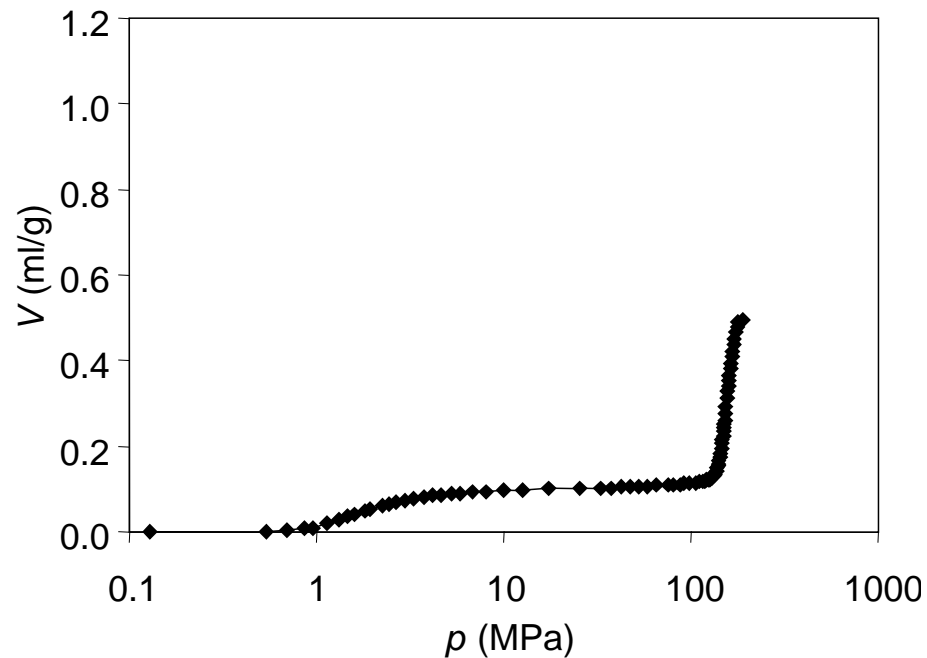
$$d_p = \frac{14860}{p}$$

(*d* u nm, *p* u bar-ima)

- Odgovarajući metod da se odredi zapremina i veličina pora



# Hg porozimetrija na $\gamma$ -alumini



## Razlike između $S_{\text{Hg}}$ i $S_{\text{BET}}$ za mikroporozne materijale

- Hg ne može da prodre u male mikro pore,  $\text{N}_2$  može
- Nepouzdane vrednosti kontaktnog ugla i vrednosti površinskog napona

# Teksturalna svojstva komercijalnih katalizatora

Material	Mean $d_p$ (nm)	$S_{BET}$ ( $m^2/g$ )
Catalyst supports		
Silica gel	10	200
	6	400
	4	800
$\gamma$ -Al <sub>2</sub> O <sub>3</sub>	10	150
	5	500
Zeolite	0.6-2	400-800
Activated carbon	2	700-1200
TiO <sub>2</sub>	400-800	2-50
Aerosil SiO <sub>2</sub>	-	50-200
Catalysts		
MeOH synthesis (Cu/ZnO/Al <sub>2</sub> O <sub>3</sub> )	20	80
NH <sub>3</sub> synthesis (Fe/Al <sub>2</sub> O <sub>3</sub> /K <sub>2</sub> O)	100	10
Reforming (Pt/Re/Al <sub>2</sub> O <sub>3</sub> )	5	250
Epoxidation (Ag/ $\alpha$ -Al <sub>2</sub> O <sub>3</sub> )	200	0.5

# $S_{\text{Hg}}$ i $S_{\text{BET}}$

Adsorbent	$S_{\text{Hg}}$	$S_{\text{BET}}$	$\theta$
	$\text{m}^2/\text{g}$	$\text{m}^2/\text{g}$	deg
Iron Oxide	14.3	13.3	130
Tungsten Oxide	0.11	0.10	130
Anatase	15.1	10.3	130
Hydroxy Apatite	55.2	55.0	130
Carbon Black (Spheron-6)	107.8	110.0	130
0.5 % Ru/ $\gamma$ -Al <sub>2</sub> O <sub>3</sub>	237.0	229.0	140
0.5 % Pd/ $\gamma$ -Al <sub>2</sub> O <sub>3</sub>	115.0	112.0	140
TiO <sub>2</sub> Powder	31.0	25.0	140
Sintered Silica Pellets	20.5	5.0	140
Zeolite H-ZSM-5	39.0	375.0	140
Norit Active Carbon R1 Extra	112.0	915.0	140

## Teksturalna svojstva

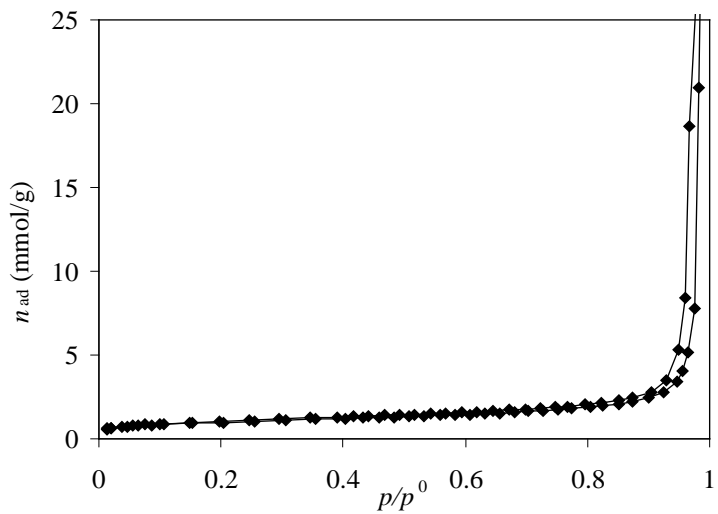
	N <sub>2</sub> -physisorption				Hg-porosimetry		
	S <sub>BET</sub>	S <sub>t</sub>	V <sub>p</sub>	d <sub>p</sub>	S <sub>Hg</sub>	V <sub>p</sub>	d <sub>p</sub>
	m <sup>2</sup> /g	m <sup>2</sup> /g	ml/g	nm	m <sup>2</sup> /g	ml/g	nm
Wide Pore Silica	78	52	0.91	47	80	0.92	54
γ-Alumina	196	202	0.49	10	163	0.49	10
α-Alumina	9	8	0.12	112	12	0.48	150
Active Carbon	1057 <sup>a</sup>	28	0.51	2	0.6	0.46	106
Raney Ni	76	-	0.14	5.80	-	-	-
ZSM-5	345	344	0.19	0.58	11	1.1	820 <sup>b</sup>

<sup>a</sup> p/p<sub>0</sub> range of 0.01-0.1 was used in the calculation.

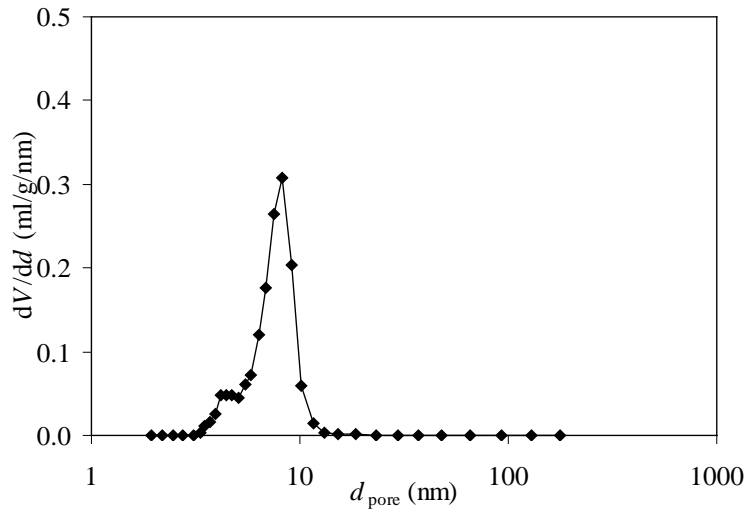
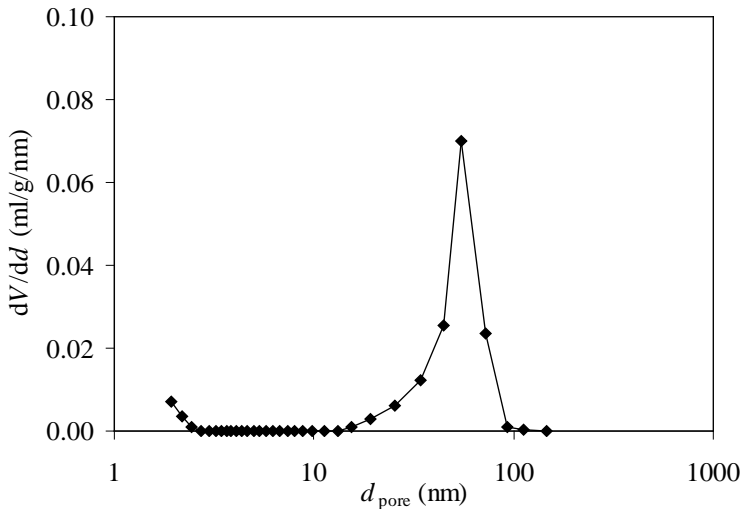
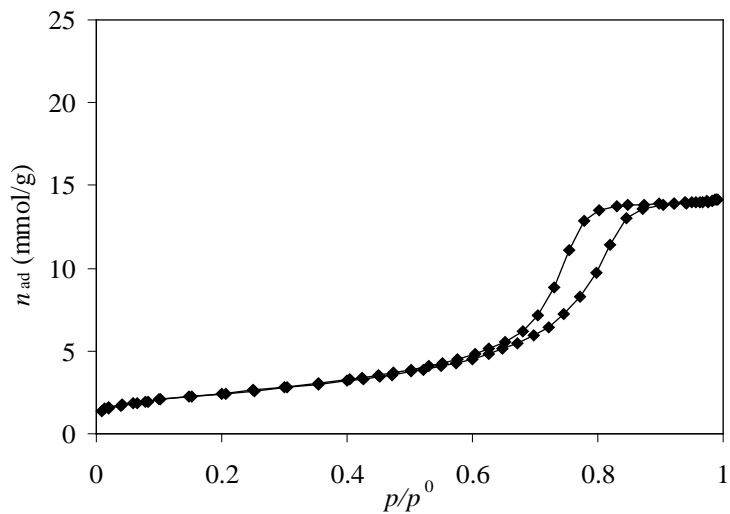
<sup>b</sup> intraparticle voids.

# $N_2$ adsorpcione izoterme & raspodela veličine pora

wide-pore silica

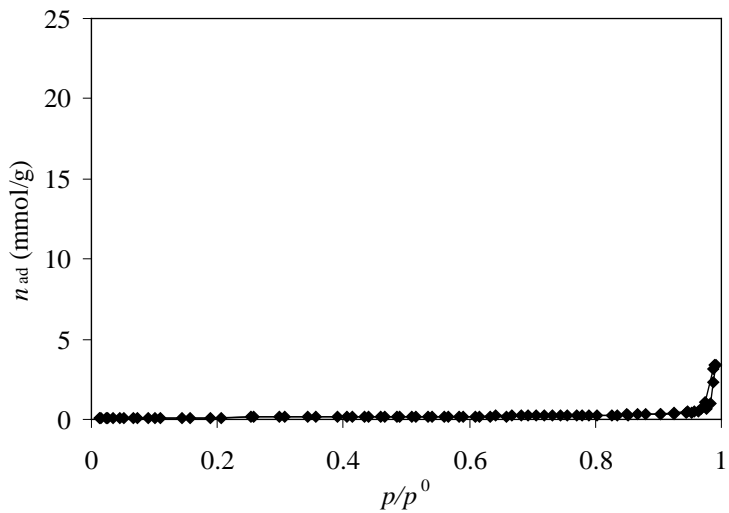


$\gamma$ -alumina

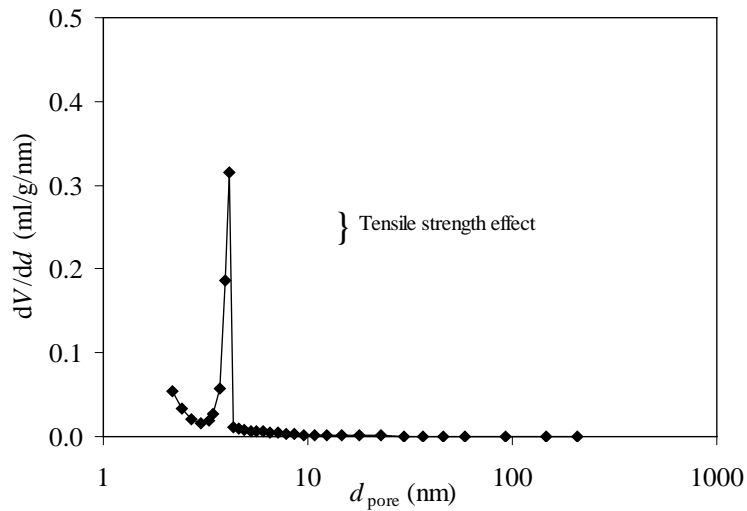
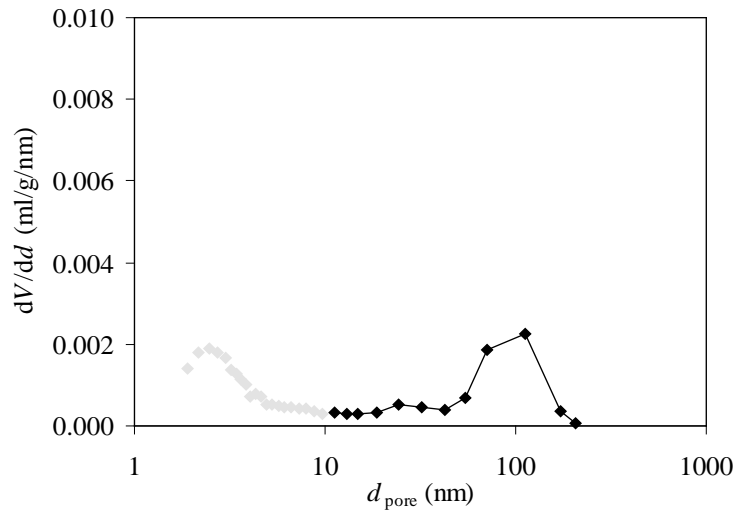
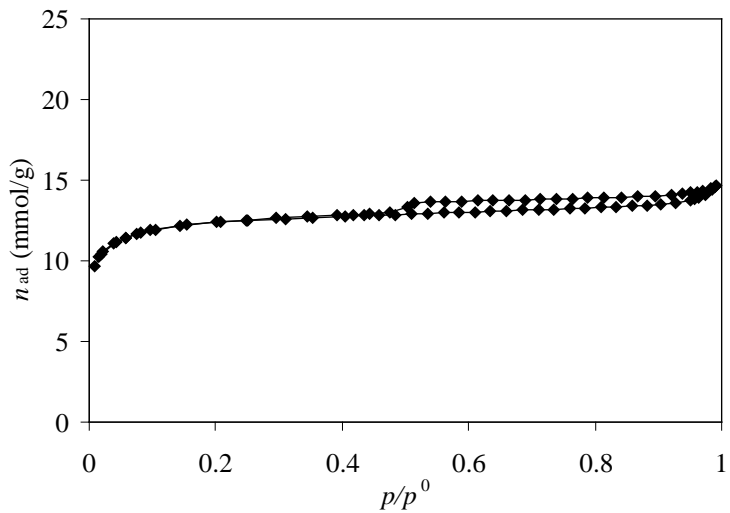


# $N_2$ adsorpcione izoterme & raspodela veličine pora

$\alpha$ -alumina

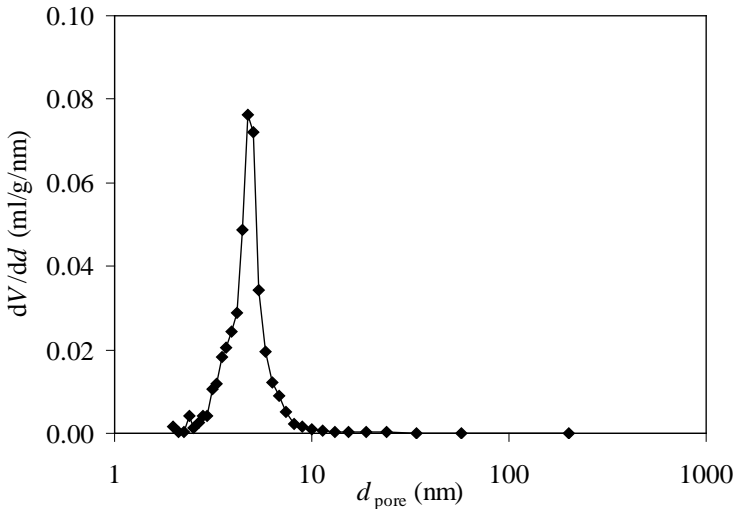
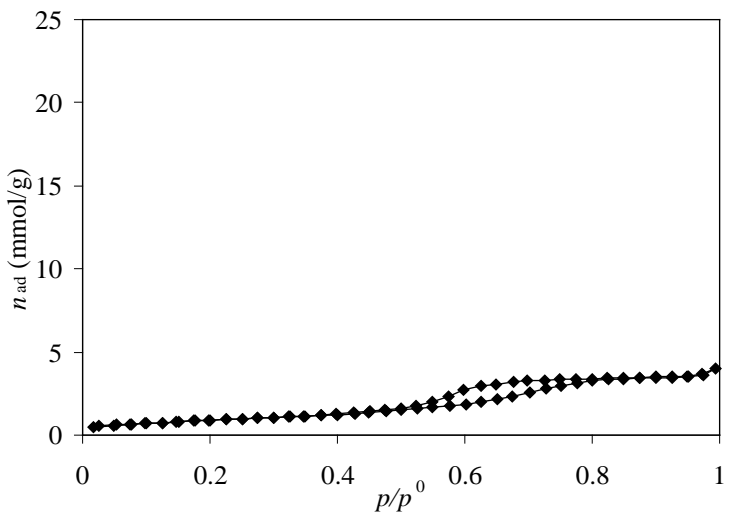


activated carbon

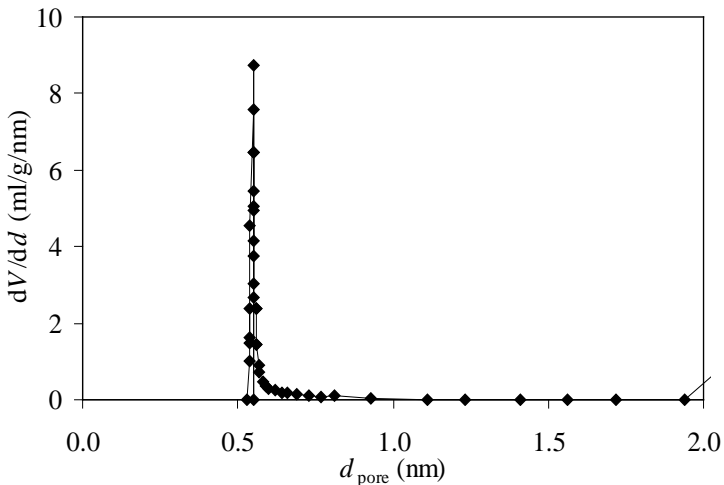
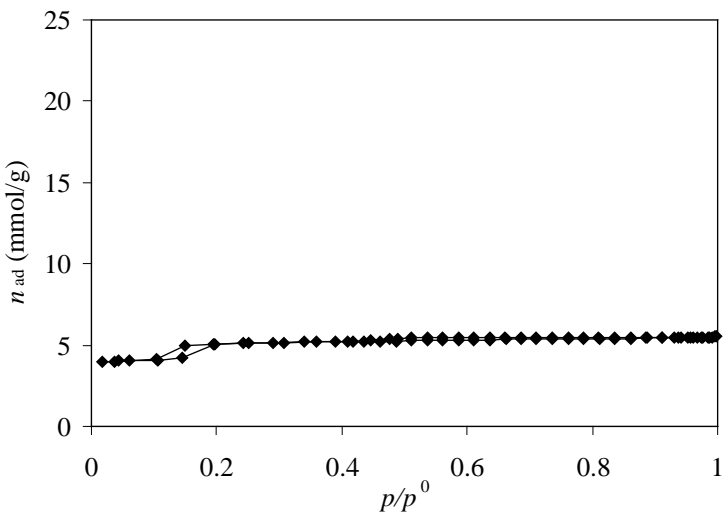


# $N_2$ adsorpcione izoterme & raspodela veličine pora

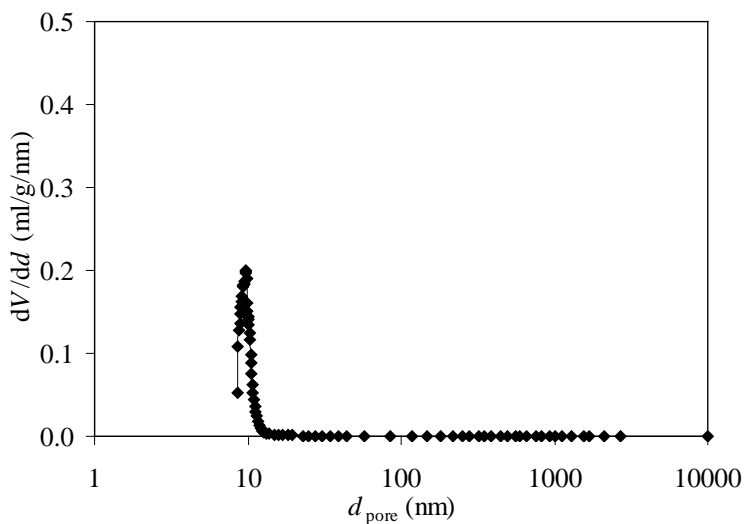
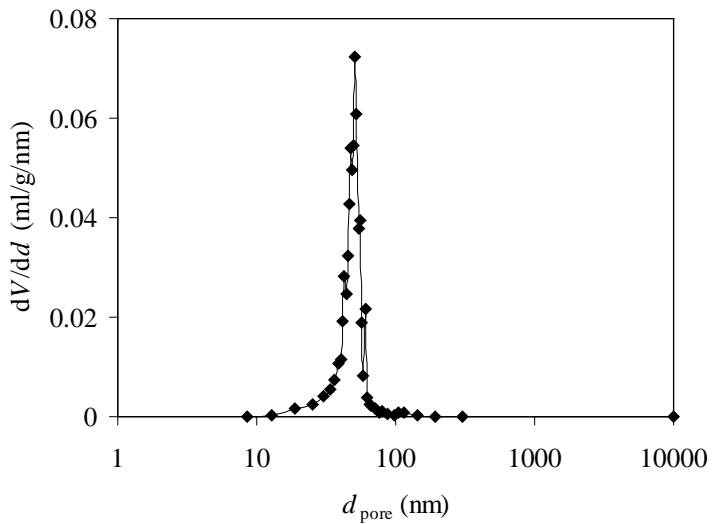
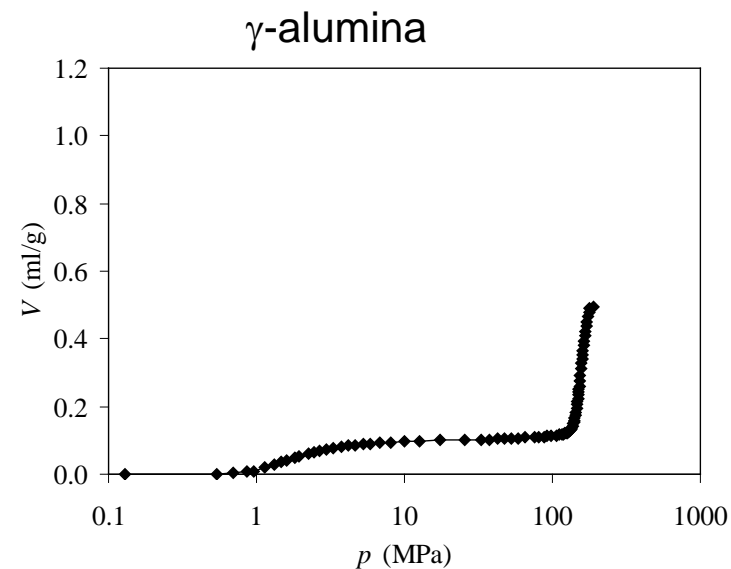
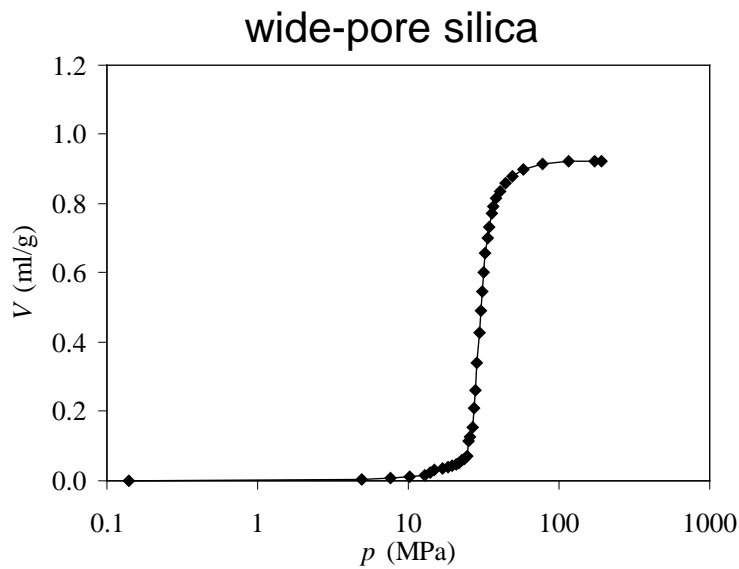
Raney Ni



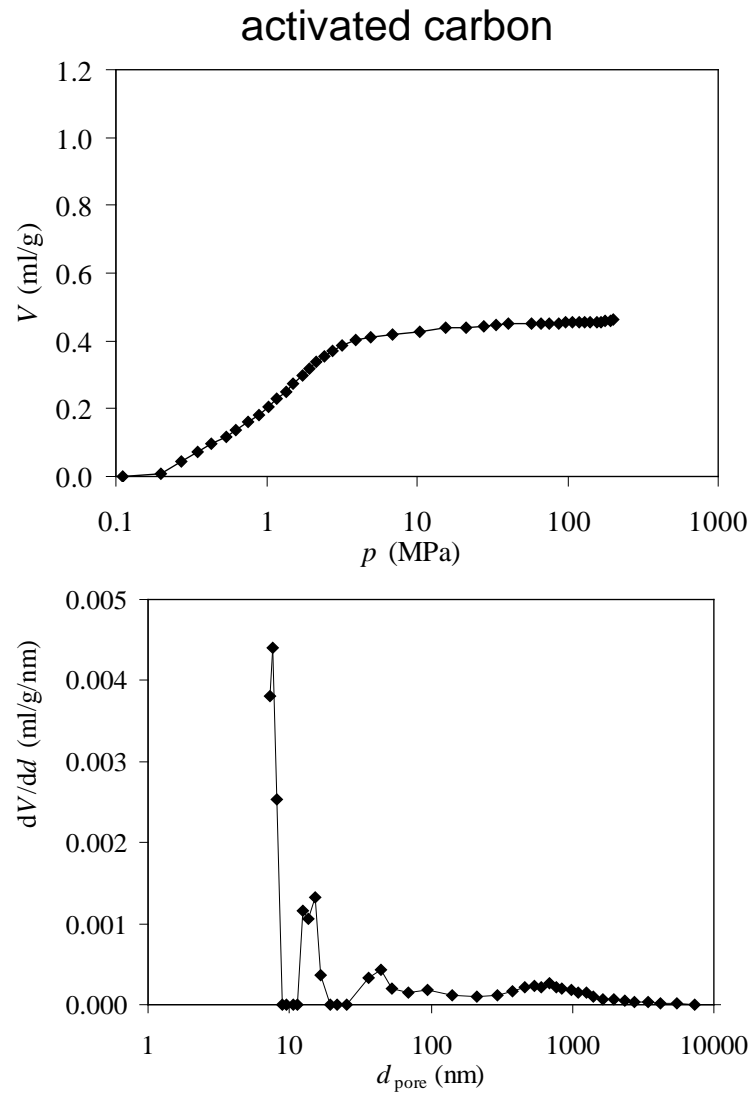
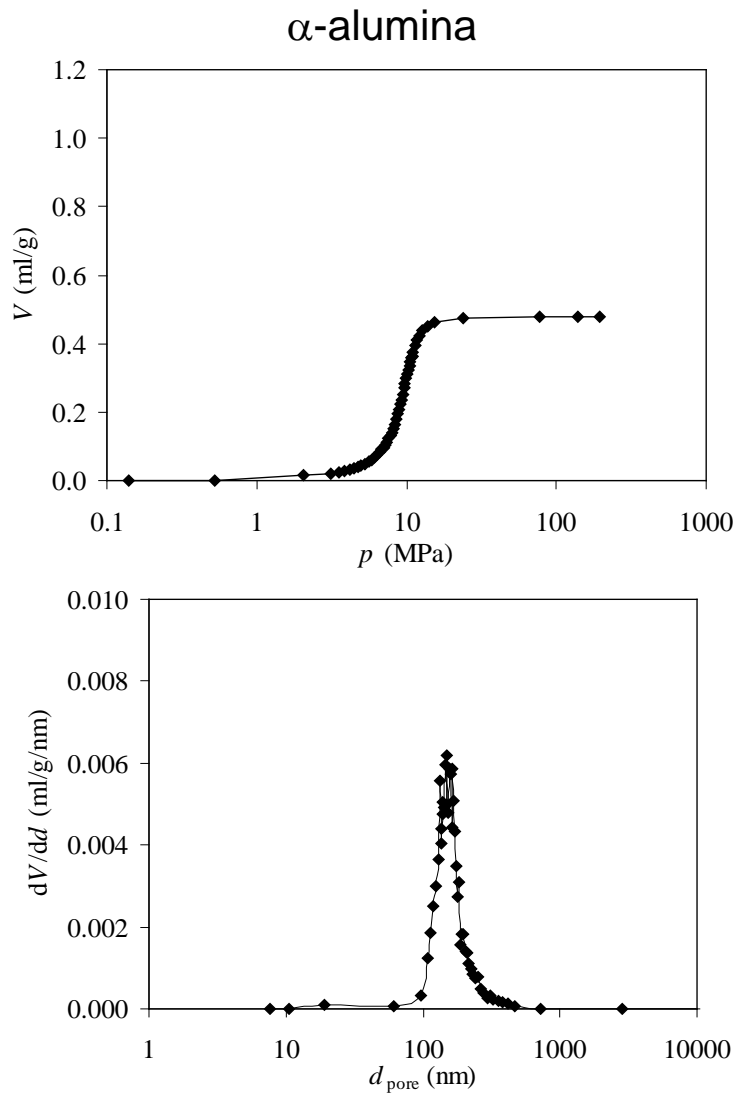
ZSM-5



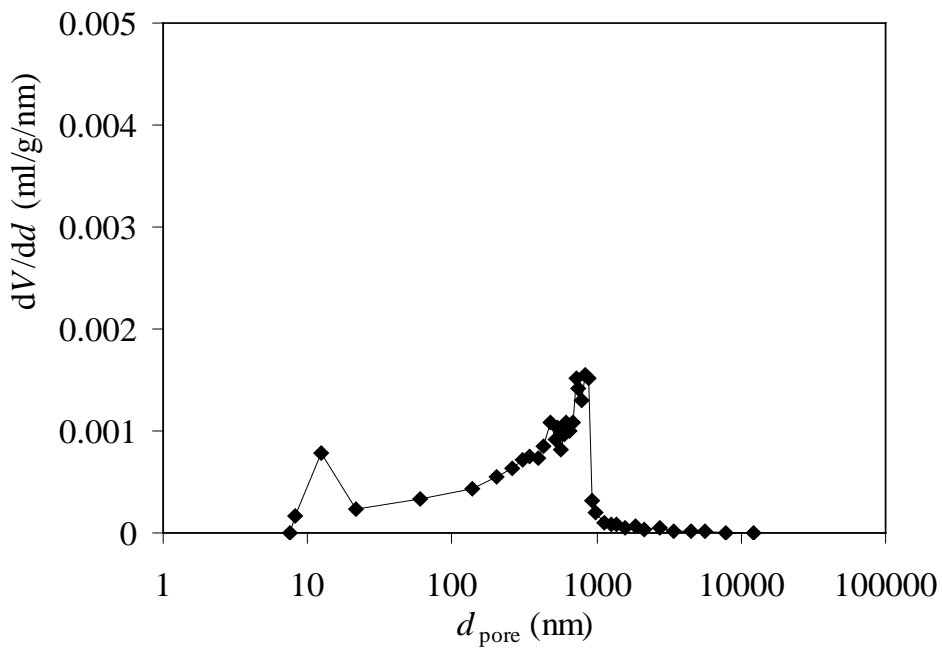
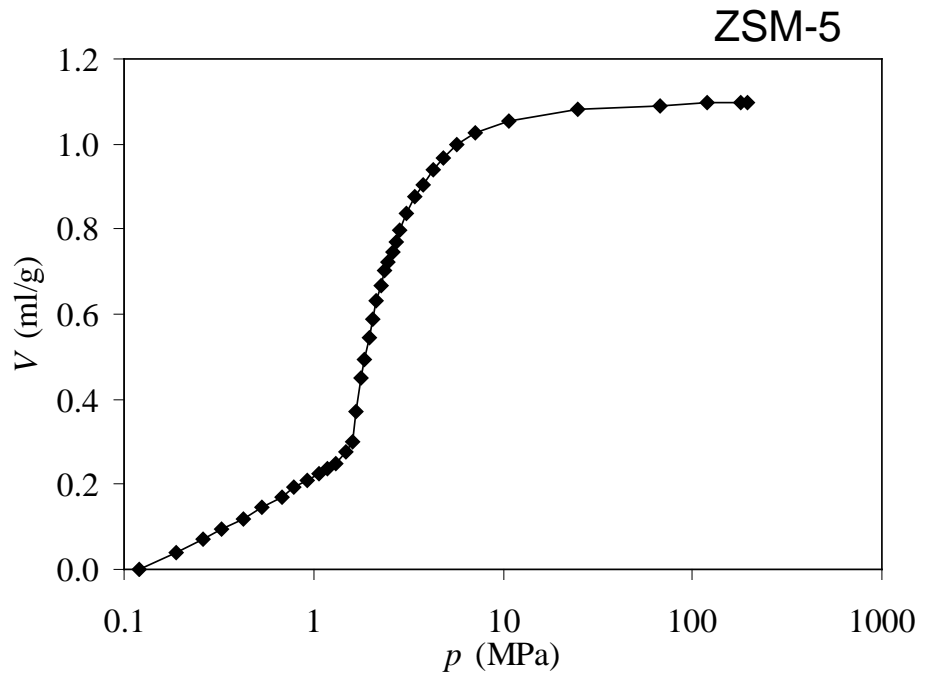
# Hg porozimetrija & raspodela veličine pora



# Hg porozimetrija & raspodela veličine pora

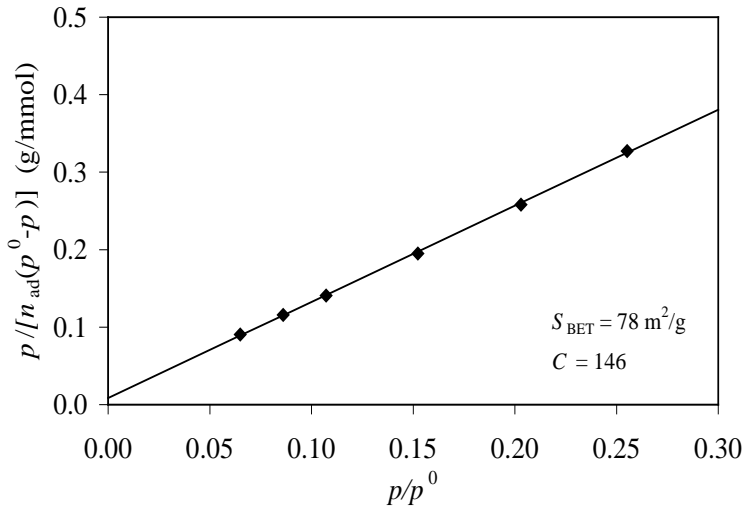


# Hg porozimetrija & raspodela veličine pora

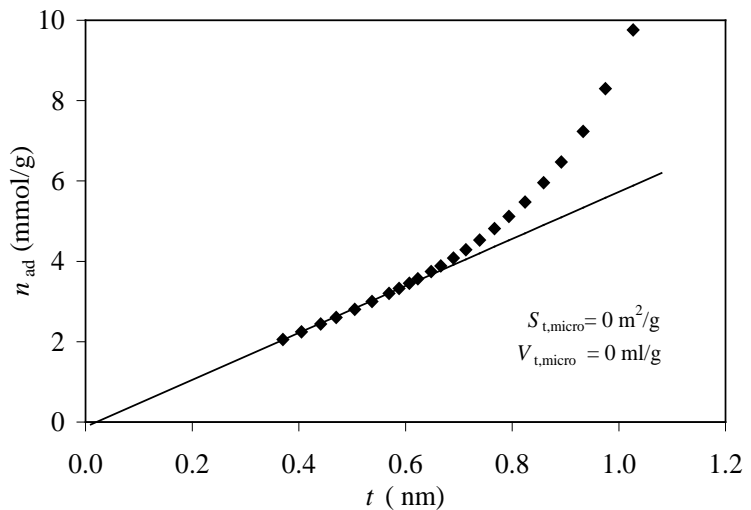
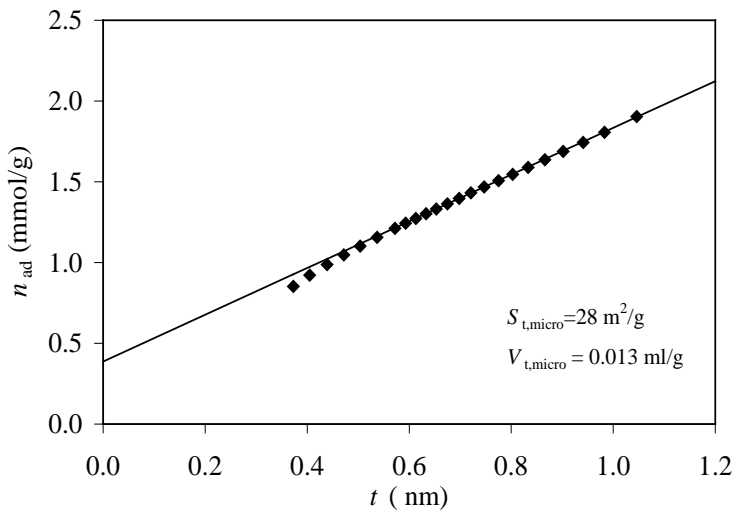
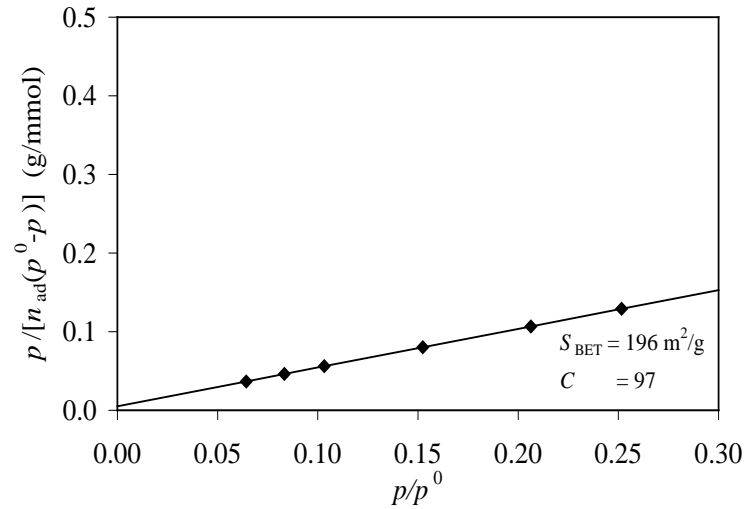


# BET- & *t*-krive

wide-pore silica

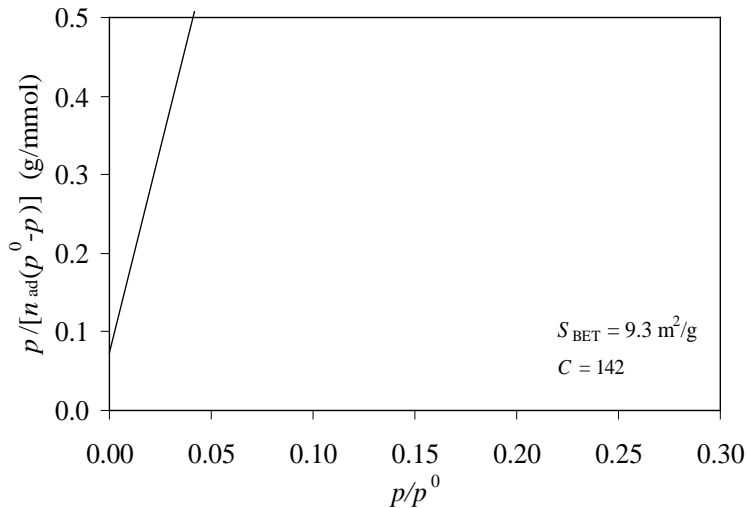


$\gamma$ -alumina

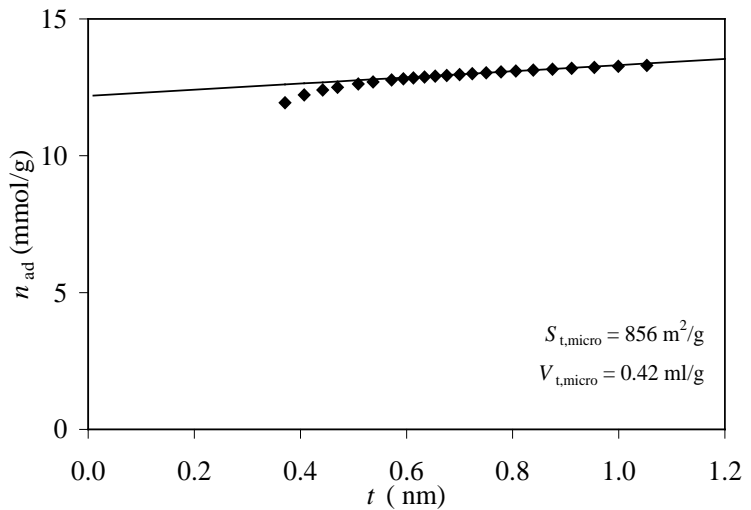
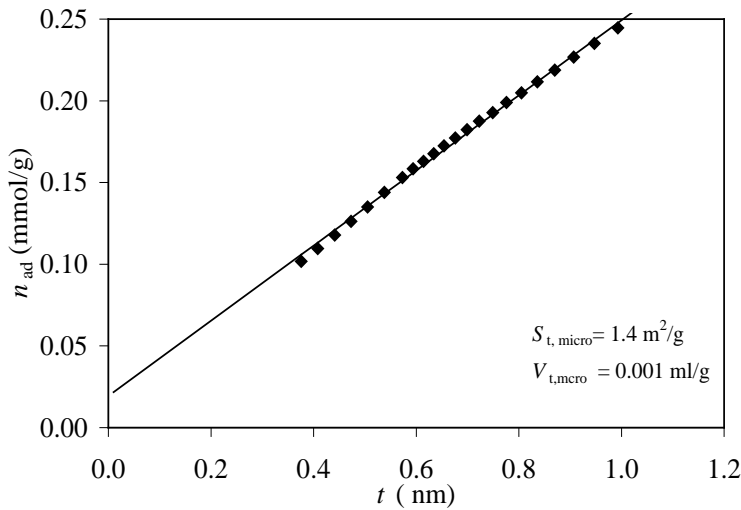
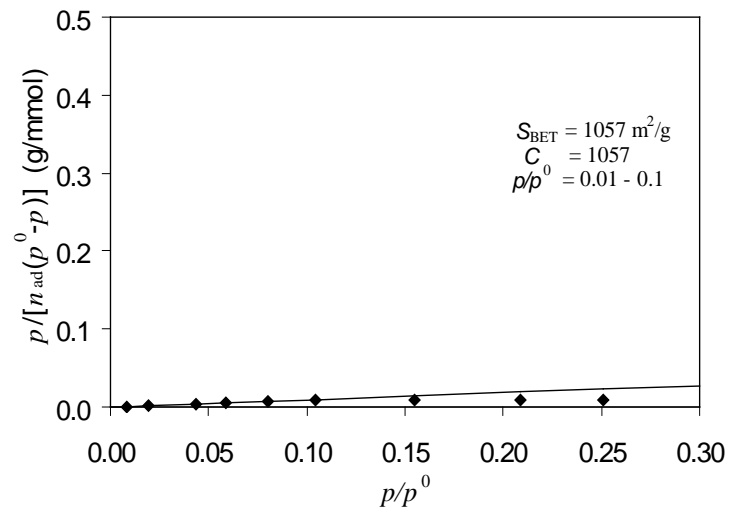


# BET- & *t*-krive

$\alpha$ -alumina

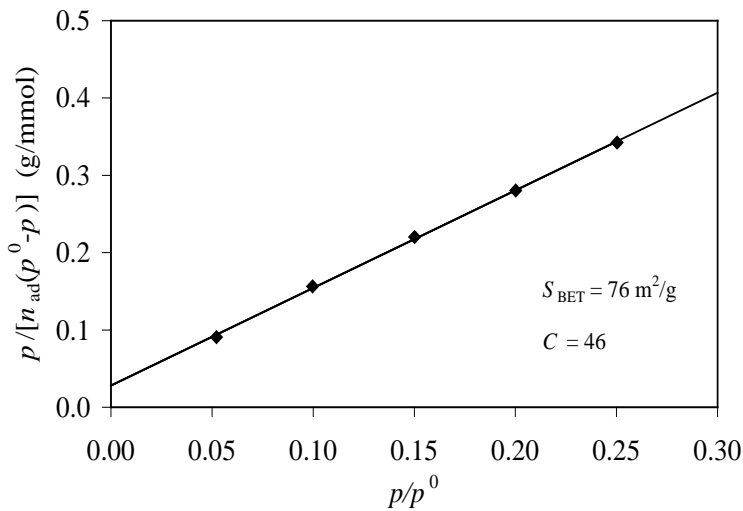


activated carbon

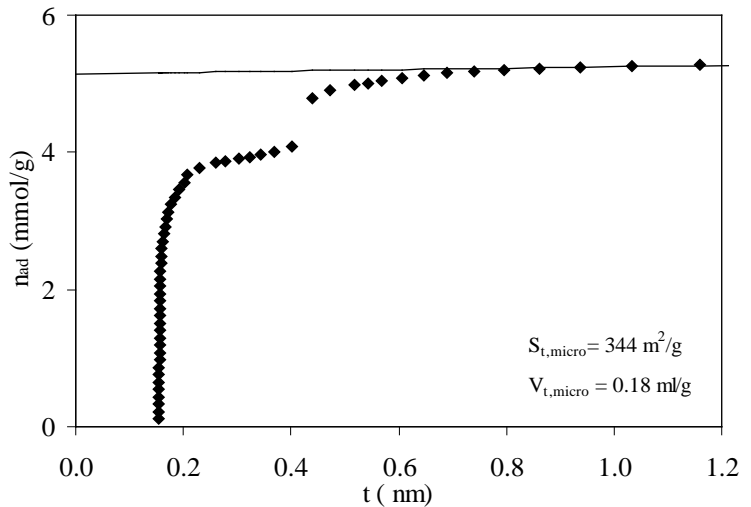
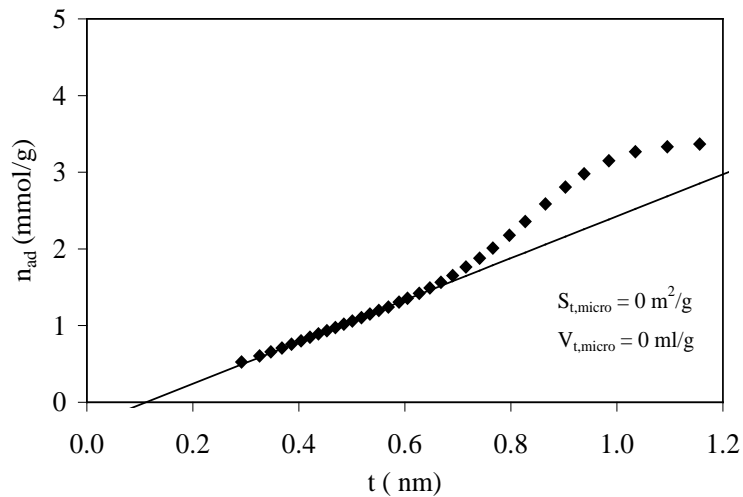
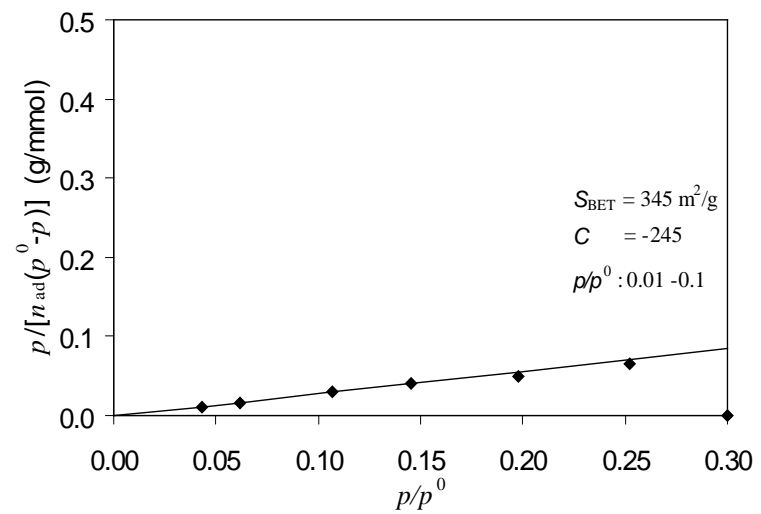


# BET- & *t*-krive

Raney Ni



ZSM-5



## ***Gas Purification***

H <sub>2</sub> O/olefin-containing cracked gas, natural gas, air, synthesis gas, etc.	Silica, alumina, zeolite (3A)
CO <sub>2</sub> /C <sub>2</sub> H <sub>4</sub> , natural gas, etc.	Zeolite, carbon molecular sieve
Hydrocarbons, halogenated organics, solvents/vent streams	Activated carbon, silicalite, others
Sulfur compounds/natural gas, hydrogen, liquefied petroleum gas (LPG), etc.	Zeolite, activated alumina
SO <sub>2</sub> /vent streams	Zeolite, activated carbon
Odors/air	Silicalite, others
Indoor air pollutants—VOCs	Activated carbon, silicalite, resins
Tank-vent emissions/air or nitrogen	Activated carbon, silicalite
Hg/chlor-alkali cell gas effluent	Zeolite

## **Liquid Purifications**

H<sub>2</sub>/organics, oxygenated organics,

halogenated organics, etc., dehydration

Silica, alumina, zeolite, corn grits

Organics, halogenated organics,

oxygenated organics, etc./H<sub>2</sub>O—water purification

Activated carbon, silicalite, resins

Inorganics (As, Cd, Cr, Cu,

Se, Pb, F, Cl, radionuclides, etc.)/H<sub>2</sub>O—waterpurification

Activated carbon

Odor and taste bodies/H<sub>2</sub>O

Activated carbon

Sulfur compounds/organics

Zeolite, alumina, others

Decolorizing petroleum fractions, syrups, vegetable oils, etc.

Activated carbon

Various fermentation products/fermentor effluent

Activated carbon, affinity agents

Drug detoxification in the body

Activated carbon

## **Liquid Bulk Separations**

Normal paraffins/isoparaffins, aromatics	Zeolite
<i>p</i> -xylene/ <i>o</i> -xylene, <i>m</i> -xylene	Zeolite
Detergent-range olefins/paraffins	Zeolite
<i>p</i> -Diethyl benzene/isomer mixture	Zeolite
Fructose/glucose	Zeolite
Chromatographic analytical separations	Wide range of inorganic, polymer, and affinity agents